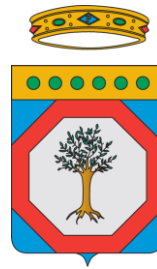




COMUNE DI ALTAMURA



REGIONE PUGLIA



COMUNE DI SANTERAMO IN COLLE

COSTRUZIONE ED ESERCIZIO DI UN IMPIANTO DI PRODUZIONE DELL'ENERGIA ELETTRICA DI UN IMPIANTO DI PRODUZIONE DELL'ENERGIA ELETTRICA DA FONTE EOLICA AVENTE POTENZA IN IMMISSIONE PARI A 54 MW COSTITUITO DA N.9 AEROGENERATORI DI POTENZA PARI A 6 MW CON RELATIVO COLLEGAMENTO ALLA RETE ELETTRICA – IMPIANTO DENOMINATO “ALTAMURA” UBICATO NEL COMUNE DI ALTAMURA E SANTERAMO IN COLLE.

ELABORATO: **R.10****CALCOLI PRELIMINARI DEGLI IMPIANTI**

COMMITTENTE

SCS 10 srl

Via GEN. ANTONELLI 3 - MONOPOLI

PROGETTAZIONE

Progettato e sviluppato da



PROGETTAZIONE



STIM ENGINEERING S.r.l.

VIA GARRUBA, 3 - 70121 BARI

Tel. 080.5210232 - Fax 080.5234353

www.stimeng.it - segreteria@stimeng.it

PROGETTAZIONE:

Ing. Massimo Candeo

Ordine Ing. Bari n. 3755

Via Cancelllo Rotto, 3 - 70125 Bari

Mobile: 328.9569922

m.candeo@pec.it**Ing. Gabriele Conversano**

Ordine Ing. Bari n. 8884

Via Garruba, 3 - 70122 Bari

Mobile: 328.6739206

gabrieleconversano@pec.it

Collaborazione:

Ing. Marco Evangelista

Ordine Ing. Bari n. 4245

**REVISIONI**

REV	DATA	DESCRIZIONE	ESEGUITO	VERIFICATO	APPROVATO
0	Agosto 22	Relazione	Ing. Evangelista	Ing. Conversano	Ing. Candeo

INDICE

1	PREMessa	3
2	DESCRIZIONE DELL'INTERVENTO.....	4
2.1	DESCRIZIONE DELL'INTERVENTO IN GENERALE	4
2.2	FASI DI LAVORO PER LA REALIZZAZIONE DELL'INTERVENTO	6
2.3	DATI STRUTTURALI DI PROGETTO.....	7
3	NORMATIVA TECNICA DI RIFERIMENTO.....	10
4	INPUT DI MODELLAZIONE NUMERICA FEM	11
4.1	CLASSIFICAZIONE SISMICA DEI COMUNI DI ALTAMURA E SANTERAMO IN COLLE	11
4.2	CATEGORIA DI SOTTOSUOLO E CONDIZIONI TOPOGRAFICHE	15
4.3	IPOTESI DI PROGETTO E PARAMETRI SISMICI	16
4.4	CRITERI DI CONCEZIONE E DI SCHEMATIZZAZIONE STRUTTURALE: EFFICACIA DEL MODELLO	16
5	ANALISI STRUTTURALE.....	18
5.1	VALORI DI PROGETTO DELLA RESISTENZA DEI MATERIALI STRUTTURALI	18
5.2	PRESCRIZIONI SUL CALCESTRUZZO DI FONDAZIONE	18
5.3	ACCIAIO PER OPERE IN C.A.	18
5.4	DEFINIZIONE DEL COPRIFERRO	19
5.5	CLASSE DI ESPOSIZIONE	19
5.6	AZIONI DI PROGETTO	20
5.7	COMBINAZIONI DI CARICO	21
5.8	VERIFICHE ALLO STATO LIMITE ULTIMO (SLU).....	22
6	DATI	24
6.1	MATERIALI.....	24
6.2	GEOMETRIA.....	24
6.3	SPESSORI PIASTRA.....	25
6.4	DESCRIZIONE TERRENI	26
6.5	CARICHI	37
6.6	DETTAGLI CALCOLO CAPACITA' PORTANTE	41
7	PRINCIPALI VERIFICHE	37
7.1	VERIFICHE GEOTECNICHE.....	42
7.2	VERIFICHE STRUTTURALI.....	43
7.3	VERIFICA EQUILIBRIO DI CORPO RIGIDO	61
7.4	VERIFICHE ALLO STATO LIMITE DI ESERCIZIO (SLE).....	62
7.5	VALUTAZIONE DELLA RIGIDEZZA ROTAZIONALE DINAMICA (DRS)	78
8	METODOLOGIE DI CALCOLO, TIPO DI ANALISI E STRUMENTI UTILIZZATI.....	80

1 PREMESSA

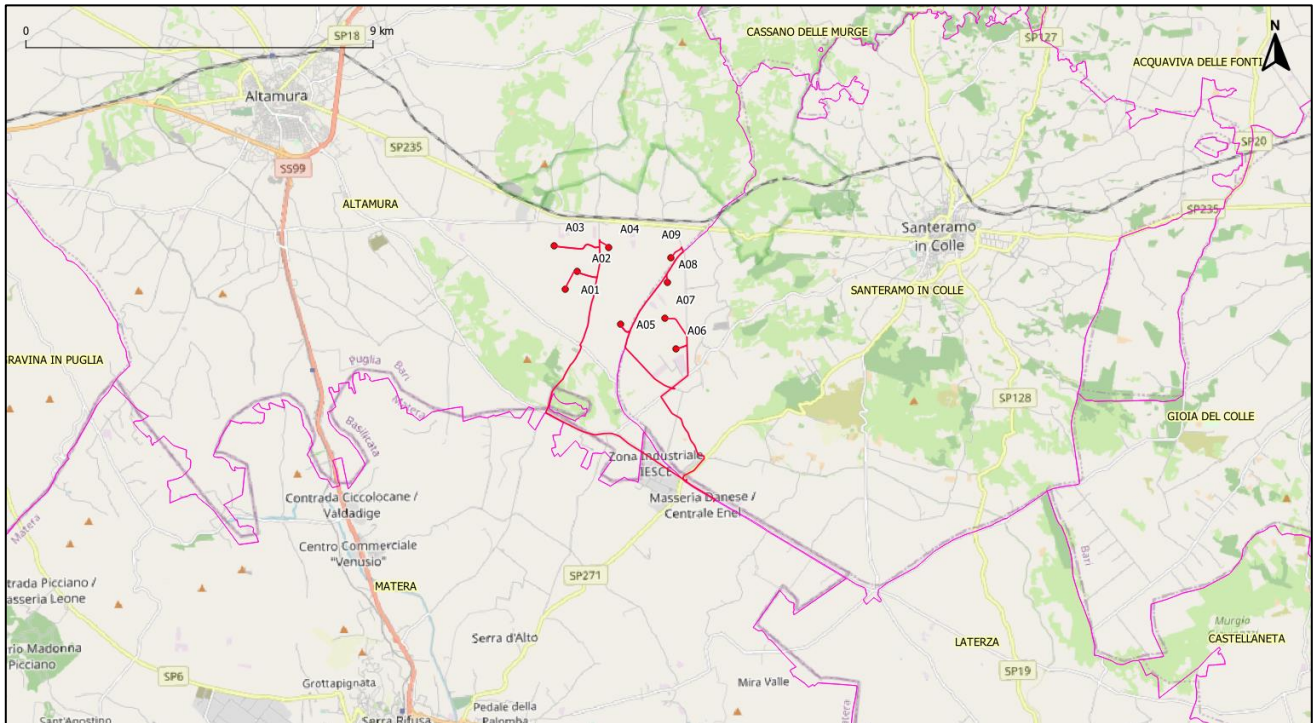
La presente Relazione è strutturata come di seguito:

- il CAPITOLO 2 è introduttivo e descrittivo;
- il CAPITOLO 3 riporta le norme di riferimento;
- il CAPITOLO 4 individua la categoria sismica del sottosuolo del sito di realizzazione;
- il CAPITOLO 5 indica l'origine e la tipologia delle condizioni di carico elementari considerate permanenti e variabili in termini di carico accidentale generico ed indica le modalità secondo norma in cui saranno combinati per l'analisi dei diversi stati limite (ultimi e di esercizio);
- il CAPITOLO 6 definisce i dati di calcolo in termini di geometria del modello e di resistenza di progetto dei materiali strutturali utilizzati nonché condizioni di carico elementari e le successive combinazioni individuate;
- il CAPITOLO 7 riporta i principali risultati dell'analisi;
- il CAPITOLO 8 riporta le metodologie di calcolo e software commerciale utilizzati.

2 DESCRIZIONE DELL'INTERVENTO

2.1 DESCRIZIONE DELL'INTERVENTO IN GENERALE

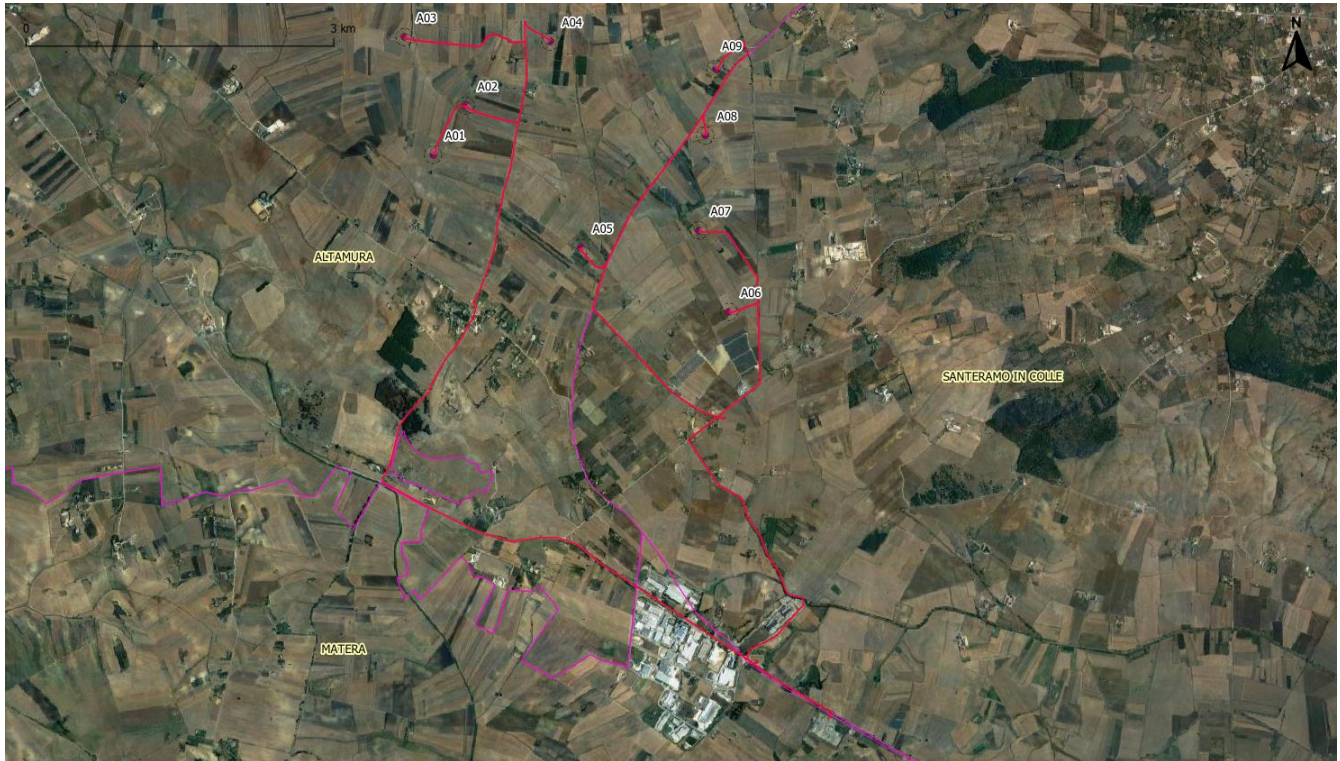
La presente relazione contiene la Relazione dei calcoli preliminari delle strutture di un progetto per la realizzazione di un impianto eolico in Agro dei Comuni di Altamura e Santeramo in Colle (BA), costituito da 9 aerogeneratori tripala (WTG) ad asse orizzontale, ciascuno di potenza nominale pari a 6 MW, per una potenza elettrica complessiva pari a 54 MW.



Inquadramento a scala ampia dell'area di intervento con limiti comunali

In particolare l'area oggetto di intervento è ubicata nel triangolo compreso tra la SP35 (Santeramo-Altamura), la SP41 (Altamura - Z.I. Jesce) e la SP236 (Santeramo – Matera).

Di seguito è riportato un inquadramento su ortofoto del layout dell'impianto, in cui sono mostrate le posizioni degli aerogeneratori, la viabilità di nuova realizzazione ed il percorso del cavidotto di connessione alla rete elettrica nazionale.



Inquadramento a scala ridotta dell'area di intervento

WTG	COMUNE	Estremi catastali		Coordinate WGS84 UTM 33N	
		Fg.	P.IIa	E	N
A01	ALTAMURA	252	43	638393	4515878
A02	ALTAMURA	230	165	638732	4516289
A03	ALTAMURA	230	83	638496	4517052
A04	ALTAMURA	231	282	639483	4517084
A05	ALTAMURA	254	49	639832	4514974
A06	SANTERAMO IN COLLE	73	61	641278	4514349
A07	SANTERAMO IN COLLE	73	10	640983	4515143
A08	SANTERAMO IN COLLE	62	17	641046	4516067
A09	ALTAMURA	231	203	641147	4516715

Layout di progetto – Posizione aerogeneratori

Il Layout dell'impianto è schematicamente indicato nella precedente figura, comunque sarà meglio dettagliato nelle **Tavole di Progetto**.

L'aerogeneratore impiegato nel presente progetto è costituito da una torre di sostegno tubolare metallica a tronco di cono, sulla cui sommità è installata la navicella il cui asse è a **115 mt** dal piano campagna con annesso il rotore di diametro pari a **170 m**, per un'altezza massima complessiva del sistema torre–pale di **200 mt** rispetto al suolo.

Sarà impiegata una turbina eolica del tipo **SG 6.0-170 SIEMENS Gamesa da 6,0 MW o similare**.

Immediatamente prima della realizzazione si opterà per il modello fra i più performanti disponibili al momento, fermo restando che quello che sarà installato manterrà gli stessi parametri geometrici precedentemente indicati e le medesime emissioni acustiche, tenendo conto delle caratteristiche anemometriche proprie del sito e le altre esigenze di impianto.

A servizio degli aerogeneratori saranno realizzate le seguenti OPERE EDILI:

- realizzazione di viabilità di accesso all'area ed ai punti macchina;
- realizzazione delle piazzole di cantiere e definitive;
- posa dei cavidotti di impianto;
- fondazioni per gli aerogeneratori;
- fondazioni per componenti elettromeccaniche nella stessa;
- ripristini nell'area a fine cantiere.

Per lo stesso scopo saranno realizzate le seguenti OPERE ELETTRICHE:

OPERE DI UTENZA:

- collegamento diretto del parco eolico con tensione a 36 KV all'interno di un futuro ampliamento della esistente Stazione Elettrica Terna di Matera – Jesce.

Si rimanda agli elaborati grafici di riferimento per la visualizzazione del tracciato di posa in opera dei cavidotti interrati e la posizione geografica delle sopra citate stazioni elettriche.

2.2 FASI DI LAVORO PER LA REALIZZAZIONE DELL'INTERVENTO

La realizzazione dell'intervento proposto riguarderà le AREE d'installazione delle WTG non necessariamente contemporaneamente attivate:

- apertura cantiere;
- interventi sulla viabilità esistente, al fine di rendere possibile il transito dei mezzi speciali per il trasporto degli elementi degli aerogeneratori;
- realizzazione delle piste d'accesso alle piazzole, che dalla viabilità interpodale esistente consentano il transito dei mezzi di cantiere, per il raggiungimento dell'area d'installazione di ciascun aerogeneratore;
- realizzazione delle piazzole per l'installazione degli aerogeneratori;
- scavi a sezione larga per la realizzazione della fondazione di macchina e scavi a sezione ristretta per la messa in opera dei cavidotti;
- realizzazione delle fondazioni di macchina;
- installazione degli aerogeneratori;
- installazione cabine di sezionamento/parallelo;
- messa in opera dei cavidotti interrati;
- realizzazione della connessione elettrica d'impianto alla rete di trasmissione gestita da TERNA.

Qui di seguito una possibile suddivisione delle FASI DI LAVORO:

- preparazione del cantiere attraverso i rilievi sull'area e picchettamento delle aree di intervento;
- apprestamento delle aree di cantiere;
- realizzazione delle piste d'accesso all'area di intervento dei mezzi di cantiere;
- livellamento e preparazione delle piazzole;
- modifica della viabilità esistente fino alla finitura per consentire l'accesso dei mezzi di trasporto delle componenti degli aerogeneratori;

- realizzazione delle fondazioni in ciascuna piazzola (scavi, casseforme, armature, getto cls, disarmi, riempimenti);
- montaggio aerogeneratori;
- montaggio impianto elettrico aerogeneratori;
- posa cavidotto in area piazzola e pista di accesso;
- finitura piazzola e pista;
- posa cavidotti di collegamento tra gli aerogeneratori; posa cavidotti di collegamento (scavi, posa cavidotti, riempimenti, finitura) compresa la risoluzione di eventuali interferenze; posa cavidotto di collegamento tra la stazione elettrica MT/AT lo stallo dedicato della stazione RTN esistente;
- fondazioni cabina elettrica sezionamento/parallelo ed installazione della stessa;
- cavidotti interrati interni: opere edili;
- cavidotti interrati interni: opere elettriche;
- opere di ripristino e mitigazione ambientale;
- conferimento inerti provenienti dagli scavi e dai movimenti terra;
- posa terreno vegetale per favorire recupero situazione preesistente.

2.3 DATI STRUTTURALI DI PROGETTO

L'aerogeneratore impiegato nel presente progetto è costituito da una torre di sostegno tubolare metallica a tronco di cono, sulla cui sommità è installata la navicella il cui asse è a 115 mt dal piano campagna con annesso il rotore di diametro pari a 170m (lunghezza pala 85 mt circa), per un'altezza massima complessiva del sistema torre–pale di 200 mt.

Come detto potrebbe essere impiegata una turbina eolica del tipo **SG 6.0-170 SIEMENS Gamesa da 6,0 MW o similare**.

L'ancoraggio alle fondazioni in oggetto avverrà tramite opportuno sistema di ancoraggio fornito dal costruttore delle turbine e precisamente tramite 104+104 tirafondi precaricati preassemblati su due flange, superiore ed inferiore, la cui circonferenza media avrà un diametro pari a mt 4,35 come da documento **"D2370721-004 SGRE ON SG 6.0-170 Foundation loads T115-50"**.

In relazione alle stratigrafie ed ai modelli geotecnici assunti per gli aerogeneratori si adotteranno due distinte tipologie di fondazione per il parco in esame e precisamente:

fondazioni di tipo indiretto (plinti su pali) per gli aerogeneratori denominati A01, A02, A03, A04, A05, A08, A09

fondazioni di tipo diretto (superficiali) per gli aerogeneratori denominati A06 E A07

La struttura di fondazione è costituita in entrambi i casi da:

- Piastra circolare in c.a. del diametro D=24,00 ml, con un'altezza variabile da mt 0.90 a mt 2.75 fino ad una circonferenza concentrica del diametro di mt 6,00.

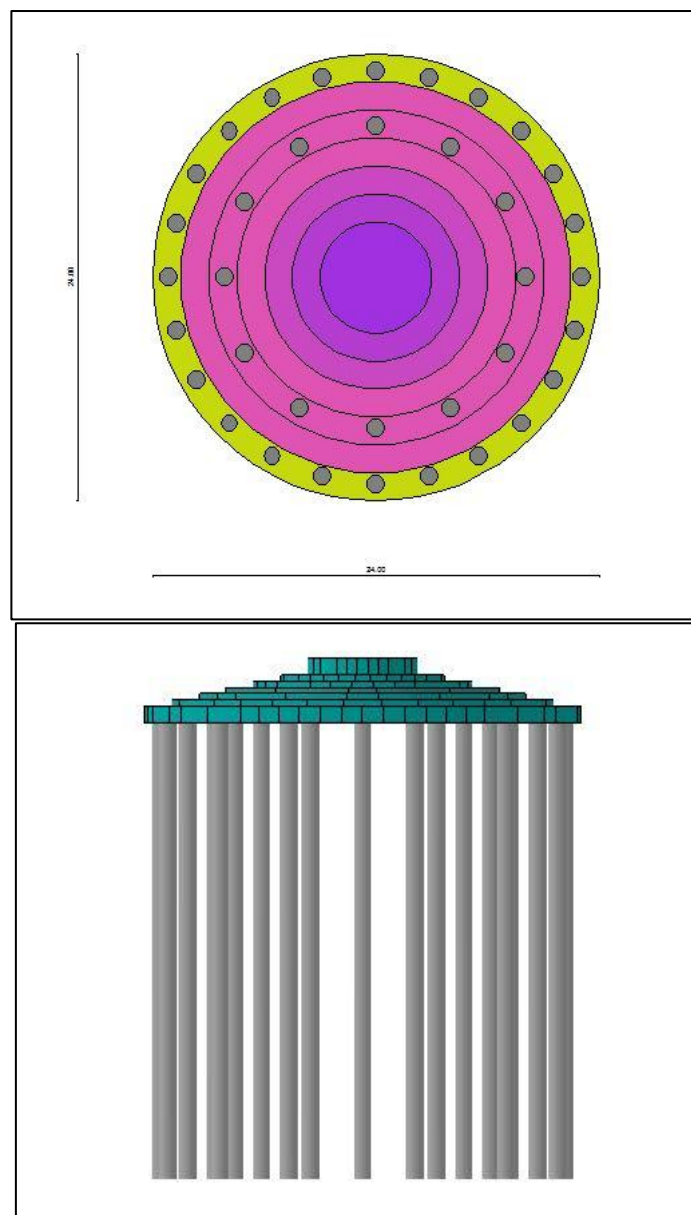
A partire da detta circonferenza, spessore costante della platea fino al centro pari a mt 3,35.

Il modello di calcolo relativo viene discretizzato in un solido a gradoni come da figura seguente.

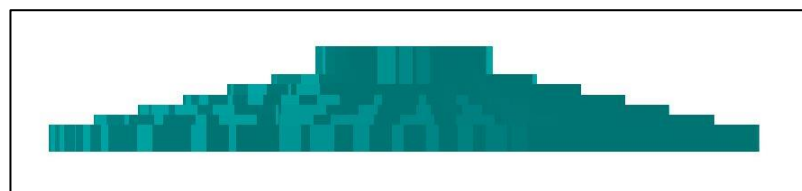
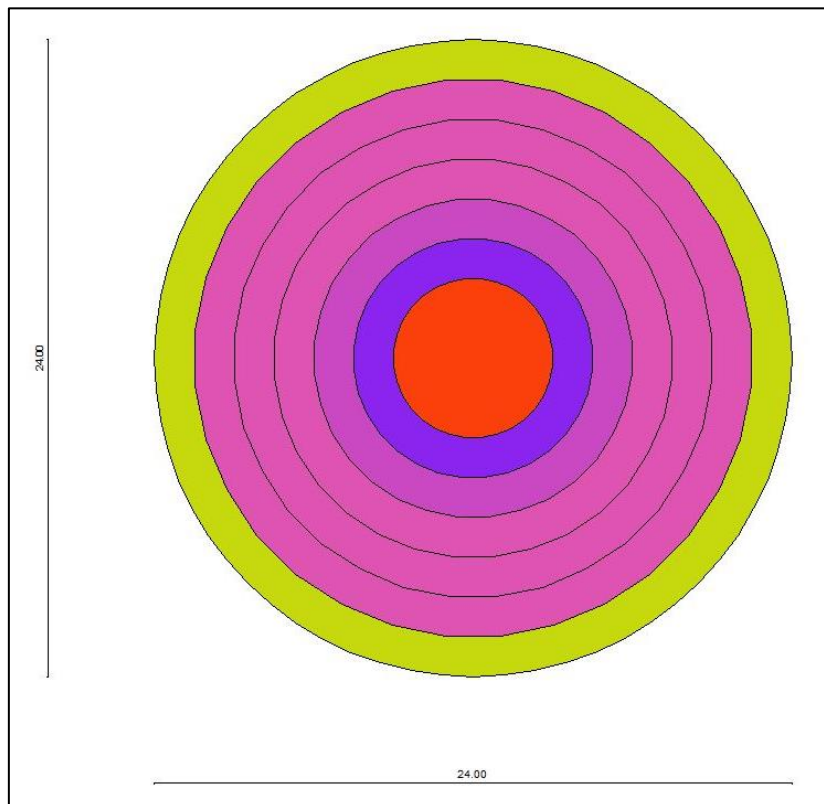
La piastra sarà interrata per circa 3,45 mt in c.a. del diametro D=24,00 ml, con un'altezza variabile da mt 0.90 a mt 2.75 fino ad una circonferenza concentrica del diametro di mt 6,00

La fondazione su pali prevede, su piastra circolare in c.a. del diametro D=24,00 ml, con un'altezza variabile da mt 0.90 a mt 2.75 fino ad una circonferenza concentrica del diametro di mt 6,00, la realizzazione di due corone: la corona esterna ha diametro pari a

22,20 mt e 24 pali di diametro 1,0 mt e lunghezza 25,00 mt, la corona interna ha diametro pari a 16,20 mt con 12 pali di diametro 1,0 mt e lunghezza 25,00 mt.



Geometria della fondazione su pali (A01, A02, A03, A04, A05, A08, A09)



Geometria della fondazione superficiale di tipo diretto (A06 E A07)

3 NORMATIVA TECNICA DI RIFERIMENTO

- **Legge n. 1086 05.11.1971** “Norme per la disciplina delle opere di conglomerato cementizio armato, normale e precompresso ed a struttura metallica”;
- **Legge 02/02/1974 n. 64**, Provvedimenti per le costruzioni con particolari prescrizioni per le zone sismiche;
- **D.M. LL.PP. 11.03.1988** “Norme tecniche riguardanti le indagini sui terreni e sulle rocce, la stabilità dei pendii naturali e delle scarpate, i criteri generali e le prescrizioni per la progettazione, l'esecuzione ed il collaudo delle opere di sostegno delle terre e delle opere di fondazione” e relativa **Circ. Min. LL.PP. n° 30483 del 24.09.1988**;
- **ORDINANZA P.C.M. N: 3274 del 02/05/2003** (G.U. 08/05/2003, n. 105 suppl.) modificata ed integrata ai sensi della ORDINANZA P.C.M. N. 3316 del 02/10/2003 (G.U. 10/10/2003, n. 236) e della ORDINANZA P.C.M. N. 3431 del 03/05/2005 (G.U. 10-5-2005, n. 107 -suppl.): Primi elementi in materia di criteri generali per la classificazione sismica del territorio nazionale e di normative tecniche per le costruzioni in zona sismica;
- D.P.C.M. n° 3685 del 21/10/03, G.U. n° 252, del 29/10/03;
- **Presidenza del Consiglio dei Ministri, Dipartimento della Protezione Civile, Ufficio Servizio Sismico Nazionale, 29/03/04:** Elementi informativi sull'Ordinanza del Presidente del Consiglio dei Ministri n. 3274 del 20 marzo 2003, recante “Primi elementi in materia di criteri generali per la classificazione sismica del territorio nazionale e di normative tecniche per le costruzioni in zona sismica” (G.U. n. 105 del 8.5.2003);
- **DELIBERAZIONE DELLA GIUNTA REGIONE PUGLIA 2 marzo 2004, n. 153:** “L.R. Puglia 20/00 - O.P.C.M. 3274/03 - Individuazione delle zone sismiche del territorio regionale e delle tipologie di edifici ed opere strategici e rilevanti - Approvazione del programma temporale e delle indicazioni per le verifiche tecniche da effettuarsi sugli stessi.” (B.U.R. Puglia n. 33 del 18.03.2004);
- Del G.R. n° 597 del 27/04/2004, B.U.R. n°56 del 06/05/04;
- Del G.R. n° 260 del 07/03/2005, B.U.R. n°50 del 16/04/05;
- O.P.C.M. n° 3519 del 28/04/06, G.U. n° 108, del 11/05/06;
- **D.M. 17 gennaio 2018.** Aggiornamento delle Norme Tecniche delle Costruzioni.
- **Circolare del 21/01/2019 n. 7 del Consiglio Superiore dei Lavori Pubblici,** Istruzioni per l'applicazione dell'aggiornamento delle Norme Tecniche per le Costruzioni di cui al D.M. 17 gennaio 2018.
- **EUROCODICE 2 (EN 1992)** – Progettazione delle strutture di calcestruzzo
- **EUROCODICE 7 (EN 1997)** – Progettazione geotecnica
- **CEI EN 61400-1** (2007). Turbine eoliche, parte 1: prescrizioni di progettazione.

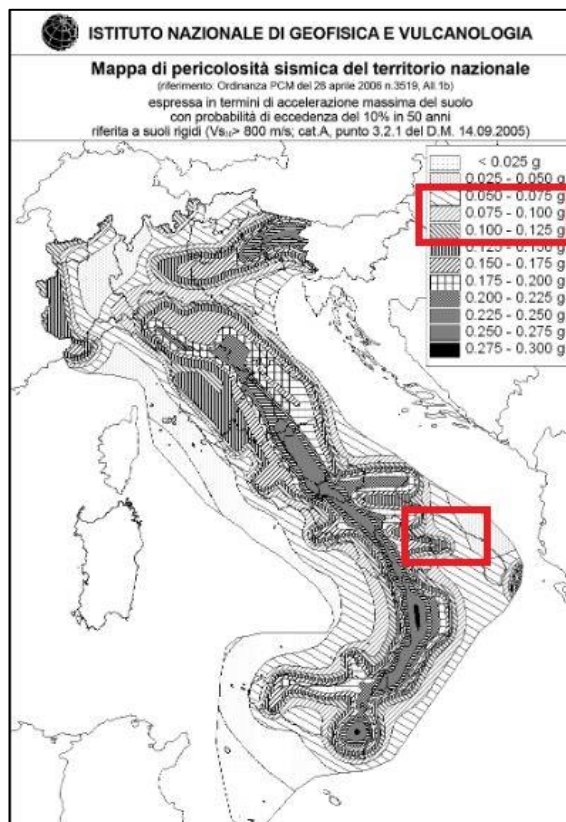
4.1 CLASSIFICAZIONE SISMICA DEI COMUNI DI ALTAMURA E SANTERAMO IN COLLE

Ai fini sismici il territorio di Cassano è incluso nell'elenco delle località sismiche appartenenti alla zona 3. Tale classificazione, dettata dalla O.P.C.M. n. 3274 del 20/03/03 "Primi elementi in materia di criteri generali per la classificazione sismica del territorio nazionale e di normative tecniche per la costruzione in zona sismica", è stata recepita dalla Regione Puglia con Delibera Giunta Regionale n. 153 del 2 marzo 2004.

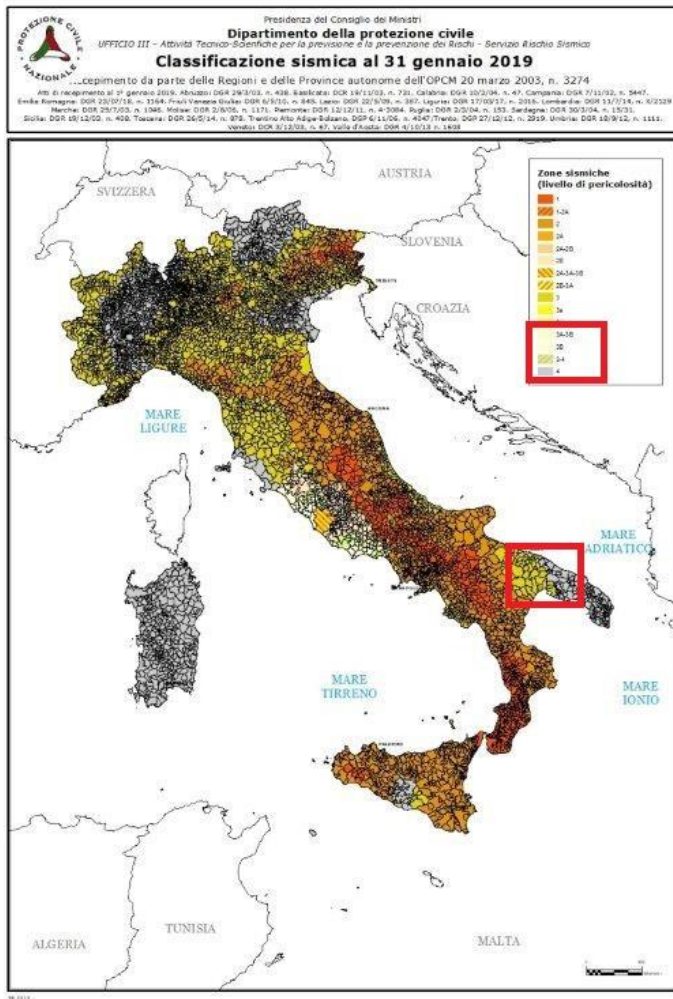
zona	accelerazione orizzontale con probabilità di superamento pari al 10 % in 50 anni [a _g /g]	accelerazione orizzontale di ancoraggio dello spettro di risposta elastico (Norme Tecniche) [a _v /g]
1	> 0,25	0,35
2	0,15-0,25	0,25
3	0,05-0,15	0,15
4	<0,05	0,05

Nel rispetto degli indirizzi e criteri stabiliti a livello nazionale, alcune Regioni hanno classificato il territorio nelle quattro zone proposte, altre Regioni hanno classificato diversamente il proprio territorio, ad esempio adottando solo tre zone (zona 1, 2 e 3) e introducendo, in alcuni casi, delle sottozone per meglio adattare le norme alle caratteristiche di sismicità.

Qualunque sia stata la scelta regionale, a ciascuna zona o sottozone è attribuito un valore di pericolosità di base, espressa in termini di accelerazione massima su suolo rigido (ag). Tale valore di pericolosità di base non ha però influenza sulla progettazione, basandosi su una classificazione a priori:



Mappa sismica OPCM 3519 del 28 aprile 2006



Mappa sismica aggiornata al gennaio 2019

Le attuali Norme Tecniche per le Costruzioni (Decreto Ministeriale del 14 gennaio 2008 e Decreto Ministeriale del 17 gennaio 2018), infatti, hanno modificato il ruolo che la classificazione sismica aveva ai fini progettuali: per ciascuna zona – e quindi territorio comunale – precedentemente veniva fornito un valore di accelerazione di picco e quindi di spettro di risposta elastico da utilizzare per il calcolo delle azioni sismiche.

Dal 1 luglio 2009 con l'entrata in vigore delle Norme Tecniche per le Costruzioni del 2008, per ogni costruzione ci si deve riferire ad una accelerazione di riferimento “propria” individuata sulla base delle coordinate geografiche dell'area di progetto e in funzione della vita nominale dell'opera. Un valore di pericolosità di base, dunque, definito per ogni punto del territorio nazionale, su una maglia quadrata di 5 km di lato, indipendentemente dai confini amministrativi comunali.

La classificazione sismica (zona sismica di appartenenza del comune) rimane utile solo per la gestione della pianificazione e per il controllo del territorio da parte degli enti preposti (Regione, Genio civile, ecc.).

I parametri di pericolosità sismica sono deducibili a partire dalle coordinate geografiche dall'allegato I alle NTC 14/01/2008 o in ultima analisi da applicativi in genere freeware

A01	WGS84 LONG-LAT	16.640127°	40.782239°	
	T _R	a _g (m/s ²)	F ₀	T _{C*}
SLO	30	0.33	2.48	0.27
SLD	50	0.42	2.50	0.30
SLV	475	0.99	2.59	0.41

SLC	975	1.22	2.68	0.43
A02	WGS84 LONG-LAT	16.644234°	40.785883°	
	T _R	a _g (m/s ²)	F ₀	Tc*
SLO	30	0.33	2.48	0.26
SLD	50	0.42	2.50	0.30
SLV	475	0.99	2.59	0.41
SLC	975	1.21	2.68	0.43
A03	WGS84 LONG-LAT	16.6441608°	40.792793°	
	T _R	a _g (m/s ²)	F ₀	Tc*
SLO	30	0.33	2.48	0.26
SLD	50	0.41	2.51	0.30
SLV	475	0.95	2.61	0.43
SLC	975	1.17	2.68	0.46
A04	WGS84 LONG-LAT	16.653309°	40.792915°	
	T _R	a _g (m/s ²)	F ₀	Tc*
SLO	30	0.33	2.48	0.26
SLD	50	0.41	2.51	0.30
SLV	475	0.95	2.60	0.42
SLC	975	1.17	2.69	0.45
A05	WGS84 LONG-LAT	16.656972°	40.773855°	
	T _R	a _g (m/s ²)	F ₀	Tc*
SLO	30	0.34	2.48	0.27
SLD	50	0.42	2.50	0.30
SLV	475	0.99	2.60	0.41
SLC	975	1.23	2.67	0.43
A06	WGS84 LONG-LAT	16.673959°	40.76798°	
	TR	ag (m/s2)	F0	Tc*
SLO	30	0.33	2.47	0.26
SLD	50	0.42	2.50	0.30
SLV	475	0.98	2.61	0.40
SLC	975	1.21	2.68	0.43
A07	WGS84 LONG-LAT	16.670644°	40.77518°	
	TR	ag (m/s2)	F0	Tc*
SLO	30	0.33	2.47	0.26
SLD	50	0.41	2.50	0.30
SLV	475	0.98	2.60	0.41
SLC	975	1.20	2.68	0.43
A08	WGS84 LONG-LAT	16.671599°	40.78349°	
	TR	ag (m/s2)	F0	Tc*
SLO	30	0.33	2.47	0.26
SLD	50	0.41	2.50	0.30
SLV	475	0.97	2.60	0.41
SLC	975	1.19	2.68	0.43
A09	WGS84 LONG-LAT	16.672942°	40.789308°	
	TR	ag (m/s2)	F0	Tc*

SLO	30	0.33	2.47	0.26
SLD	50	0.41	2.51	0.30
SLV	475	0.95	2.61	0.42
SLC	975	1.17	2.68	0.44

Tabella 1 – Coordinate geografiche e parametri di pericolosità sismica

Per individuare la categoria sismica del suolo di fondazione dell'area indagata, in corrispondenza del sito di installazione dell'aerogeneratore sono state eseguite indagini sismiche con metodologia MASW come riportato nella Relazione Geologica redatta dal Dott. Geol. Raffaele Sassone: sembra opportuno soffermarsi su alcuni aspetti di carattere generale riguardanti la tematica in oggetto, utili all'inquadramento del "problema sismico".

La propagazione delle onde sismiche verso la superficie è influenzata dalla deformabilità dei terreni attraversati. Per tale ragione gli accelerogrammi registrati sui terreni di superficie possono differire notevolmente da quelli registrati al tetto della formazione di base, convenzionalmente definita come substrato nel quale le onde di taglio, che rappresentano la principale causa di trasmissione degli effetti delle azioni sismiche verso la superficie, si propagano con velocità maggiori o uguali a 1.000 m/sec.

Attraverso l'analisi delle onde superficiali è stato possibile determinare il parametro Vs30, come previsto dal Testo Unico per le costruzioni di cui al D.M. 17.01.2018, **V_{S,eq}**:

$$V_{S,eq} = \frac{H}{\sum_{i=1}^N \frac{h_i}{V_{S,i}}}$$

In particolare risulta:

WTG	V _{S,eq}	CATEGORIA
A01	V _{S,eq} = 538 m/s	B
A02	V _{S,eq} = 546 m/s	B
A03	V _{S,eq} = 370 m/s	B
A04	V _{S,eq} = 551 m/s	B
A05	V _{S,eq} = 519 m/s	B
A06	V _{S,eq} = 1023 m/s	A
A07	V _{S,eq} = 603 m/s	B
A08	V _{S,eq} = 372 m/s	B
A09	V _{S,eq} = 566 m/s	B

Quanto affermato si desume dalla **Tabella 3.2.II D.M. 17 Gennaio 2018 – Categorie di sottosuolo**

Categoria Descrizione

A Ammassi rocciosi affioranti o terreni molto rigidi caratterizzati da valori di Vs,30 superiori a 800 m/s, eventualmente comprendenti in superficie uno strato di alterazione, con spessore massimo pari a 3 m.

B Rocce tenere e depositi di terreni a grana grossa molto addensati o terreni a grana fina molto consistenti con spessori superiori a 30 m, caratterizzati da un graduale miglioramento delle proprietà meccaniche con la profondità e da valori di Vs30 compresi tra 360 m/s e 800 m/s (ovvero NSPT,30 > 50 nei terreni a grana grossa e cu,30 > 250 kPa nei terreni a grana fina).

C Depositi di terreni a grana grossa mediamente addensati o terreni a grana fina mediamente consistenti con spessori superiori a 30 m, caratterizzati da un graduale miglioramento delle proprietà meccaniche con la profondità e da valori di Vs30 compresi tra 180 m/s e 360 m/s (ovvero 15 < NSPT,30 < 50 nei terreni a grana grossa e 70 < cu,30 < 250 kPa nei terreni a grana fina).

D Depositi di terreni a grana grossa scarsamente addensati o di terreni a grana fina scarsamente consistenti, con spessori superiori a 30 m, caratterizzati da un graduale miglioramento delle proprietà meccaniche con la profondità e da valori di Vs,30 compresi tra 100 e 180 m/s (ovvero NSPT,30 < 15 nei terreni a grana grossa e cu,30 < 70 kPa nei terreni a grana fina).

E Terreni dei sottosuoli di tipo C o D per spessore non superiore a 20 m, posti sul substrato di riferimento (con $V_s > 800$ m/s).

Per ciò che attiene la **classificazione delle condizioni topografiche** secondo quanto previsto nelle tabelle 3.2.IV e 3.2.VI delle NTC, considerato l'assetto pianoaltimetrico della porzione di territorio in esame, l'area d'intervento può essere classificata come appartenente alla

Categoria 'T1': "Superficie pianeggiante, pendii e rilievi isolati con inclinazione media $i \leq 15^\circ$ ".

4.3 IPOTESI DI PROGETTO E PARAMETRI SISMICI

Con riferimento alle Norme Tecniche per le Costruzioni DM 2018 [XI], l'azione sismica sull'opera in esame è stata valutata a partire da una "pericolosità sismica di base" in condizioni ideali di sito di riferimento rigido con superficie topografica orizzontale (di categoria B o C).

Ad oggi, la pericolosità sismica su reticolo di riferimento nell'intervallo di riferimento è fornita dai dati pubblicati sul sito <http://esse1.mi.ingv.it/>.

Nello specifico, le azioni di progetto sono ricavate, ai sensi del DM 2018, a partire dalle accelerazioni a_g e dalle relative forme spettrali.

Quest'ultime sono definite, secondo norma, su sito di riferimento rigido orizzontale in funzione dei tre parametri p (a_g , FO, T*C) - Tabella B, [XI] - e da prescelte probabilità di superamento P_{VR} e vite di riferimento V_R .

Per il calcolo dei parametri sismici locali e delle accelerazioni e tempi di ritorno riferiti ai differenti stati limite considerati sono state assunte le seguenti IPOTESI DI PROGETTO ai sensi del Par. 2.4. delle NTC 2018 [XI]:

- | | |
|------------------------------|--|
| – Tipo di costruzione: | 2 " <i>Opere ordinarie, ponti, opere infrastrutturali e dighe di dimensioni contenute o di importanza normale</i> " |
| – Vita nominale di progetto: | V_N = 50 [anni] |
| – Classe d'uso: | II^(*) " <i>Costruzioni il cui uso preveda normali affollamenti, senza contenuti pericolosi per l'ambiente e senza funzioni pubbliche e sociali essenziali. Industrie con attività non pericolose per l'ambiente. Ponti, opere infrastrutturali, reti viarie non ricadenti in Classe d'uso III o in Classe d'uso IV, reti ferroviarie la cui interruzione non provochi situazioni di emergenza, Dighe il cui collasso non provochi conseguenze rilevanti.</i> " |
| – Periodo di riferimento: | V_R = 50 [anni] |

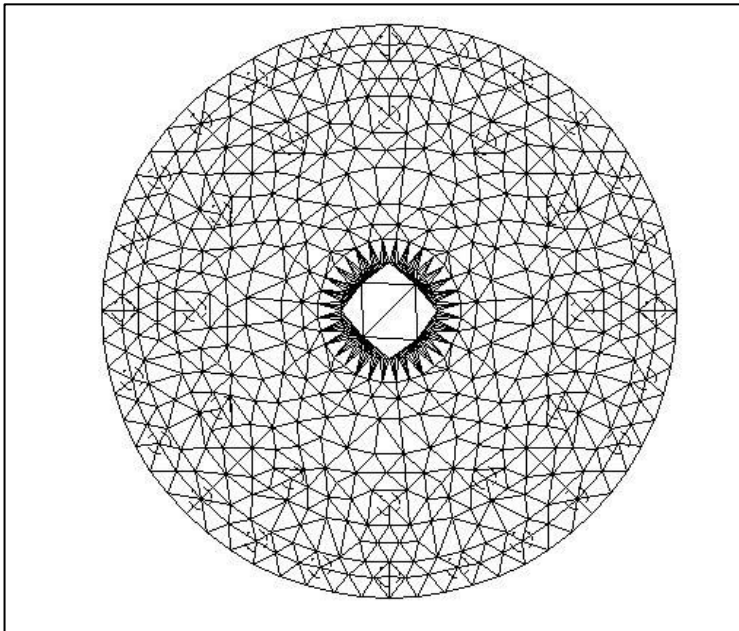
Nel caso specifico valgono i parametri sismici riportati nella precedente Tabella 1.

NOTA (*) *Ai sensi della DGR n. 1214 del 31/05/2011 i singoli aerogeneratori possono essere verificati per le sollecitazioni sismiche derivanti dalla Classe d'uso II.*

4.4 CRITERI DI CONCEZIONE E DI SCHEMATIZZAZIONE STRUTTURALE: EFFICACIA DEL MODELLO

La progettazione e la verifica delle opere strutturali in oggetto sono state eseguite con il codice di calcolo numerico ad elementi finiti denominato "**API++Platee e Graticci 14.0**" e sviluppato dall'Aztec Informatica. Per la descrizione completa del software e per approfondimenti sui criteri di calcolo, si faccia riferimento a quanto dettagliatamente riportato nei tabulati di calcoli .

La struttura di fondazione e il suo comportamento sotto le azioni statiche è stato adeguatamente valutato, interpretato e trasferito nel modello tridimensionale realizzato (Figura 1) e descritto in premessa al fine di eseguire una corretta analisi ad elementi finiti FEA.



Mesh Modello: n. elementi = 1222; n. nodi = 644

Il calcolo è stato condotto mediante analisi lineare.

Si ritiene che il modello utilizzato sia rappresentativo del comportamento reale della struttura. Sono stati, inoltre, valutati tutti i possibili effetti o le azioni che possono essere significative e avere implicazione per la struttura in esame.

Per l'analisi della platea di fondazione è stato utilizzato il metodo degli elementi finiti (FEM).

La struttura è stata suddivisa in elementi connessi fra di loro in corrispondenza dei nodi. Il campo degli spostamenti, interno all'elemento, viene approssimato in funzione degli spostamenti nodali mediante le funzioni di forma. Il programma ha utilizzato, per l'analisi tipo piastra, elementi triangolari. Nello specifico, è stata generata una mesh triangolare strutturata su una maglia stabilita a priori.

Infine, il comportamento del terreno è stato sostanzialmente modellato tramite una schematizzazione lineare alla Winkler (una serie di molle non reagenti a trazione disposte in corrispondenza dei nodi), principalmente caratterizzabile attraverso una opportuna rigidezza laterale, che è funzione delle caratteristiche del terreno .

In considerazione dell'assetto litostratigrafico e geotecnico dell'area, rivelarsi nell'insieme omogenea, la caratterizzazione stratigrafica determinata è da considerarsi caratteristica per i siti di realizzazione degli aerogeneratori denominati A01,A02,A03,A04,A05,A08,A09 e per i siti di realizzazione degli aerogeneratori denominati A06 e A07.

5 ANALISI STRUTTURALE

5.1 VALORI DI PROGETTO DELLA RESISTENZA DEI MATERIALI STRUTTURALI

- I materiali da costruzione da impiegare per la realizzazione delle strutture di fondazione per singolo aerogeneratore sono rappresentati, rispettivamente, da tondini in acciaio per armatura e da conglomerato cementizio con specifiche caratteristiche prestazionali dettagliate.
- In generale, detti materiali rientrano fra i tipi previsti dalla normativa tecnica vigente in materia.
- Nello specifico, per le opere in fondazione (piastre e pali), l'acciaio per armatura consiste in barre ad aderenza migliorata per cemento armato del tipo "B450C", mentre il calcestruzzo è di Classe "C35/45".

Per i valori di progetto della resistenza dei materiali si è fatto riferimento ai seguenti coefficienti parziali di sicurezza γ_M .

SLU: $\gamma_M=1,50$ per il Calcestruzzo $\gamma_M=1,15$ per l'Acciaio

SLE: $\gamma_M=1,00$ per il Calcestruzzo $\gamma_M=1,00$ per l'Acciaio

5.2 PRESCRIZIONI SUL CALCESTRUZZO DI FONDAZIONE

<i>Controllo di accettazione:</i>	<i>tipo A</i>
<i>Classe di resistenza del calcestruzzo:</i>	<i>C35/45</i>
<i>Resistenza a compressione sui cubetti</i>	$R_{ck} > 45 \text{ N/mm}^2$
<i>Copriferro minimo nominale:</i>	<i>5 cm</i>
<i>Classe di esposizione:</i>	<i>XC2</i>
<i>Classe di consistenza</i>	<i>S4 (fluida)</i>
<i>Massimo rapporto A/C:</i>	<i>0,55</i>
<i>Tipo/classe di cemento:</i>	<i>CEM II/AL 42,5 R</i>
<i>Diametro massimo inerte:</i>	<i>16-20 mm</i>
<i>Impiego di additive di tipo</i>	<i>"superfluidificante".</i>

Le suddette caratteristiche saranno conformi alle seguenti norme:

*D.M. 2018, UNI EN 206-1:2001, UNI EN 11104:2004, UNI 8987, UNI 8520-2:2005, UNI EN 1744, UNI EN 1367, UNI EN 197-1:2007,
UNI EN 934-2:2009*

5.3 ACCIAIO PER OPERE IN C.A.

*Acciaio dolce da Carpenteria del tipo Fe B 450 C qualificati secondo le procedure D.M. 14/01/2008 cap.11.3.1.2 e cap 11.3.3.5 nel
seguinte formato:*

*Barre tonde ad aderenza migliorata di diametri pari, rispettivamente, a 32, 25, 22, 20, 16, 12 mm e rispondente alle seguenti
caratteristiche:*

$$f_{y,nom} > 450 \text{ N/mm}^2$$

$$f_{t,nom} > 540 \text{ N/mm}^2$$

$$A_s > 7,5\%$$

$$1,15 < (f_t/f_y)k < 1,35$$

$$(f_t/f_{y,nom})k < 1,25 \text{ } \frac{\text{L}}{\text{SEP}}$$

Le suddette caratteristiche saranno conformi alle seguenti norme:

D.M. 2018

UNI EN 10020 :2001

UNI EN 10021 :2007

UNI EN 10080 :2005 \frac{L}{SEP}

Il campionamento e le prove saranno condotte secondo:

D.M. 2018

UNI EN ISO 7438 : 2005

5.4 DEFINIZIONE DEL COPRIFERRO

Classe di esposizione XC2

Classe strutturale S4

Coprifero nominale=Coprifero minimo + ΔC_{DEV}

Coprifero minimo=max(Cminb;Cmin,dur+ ΔC_{DUR} - ΔC_{ST} $\Delta C_{DUR,ADD}$; 10 mm)

Cminb= diametro barra isolata 32 mm

Cmin,dur=25 mm

ΔC_{DUR} =0

$\Delta C_{ST} = 0$

$\Delta C_{DUR,ADD} = 0$

$\Delta C_{DEV} = 10$ mm

Coprifero minimo= Cminb= 32 mm

Coprifero nominale = 32 +10 = 42 mm

Coprifero nominale scelto= 50 mm

5.5 CLASSE DI ESPOSIZIONE

La classe di esposizione ambientale prevista per la struttura in oggetto è siglata XC sia nelle Linee Guida sia nelle UNI 11104 ed è relativa al rischio di corrosione dei ferri di armatura per carbonatazione del calcestruzzo.

In particolare, l'ossidazione dei ferri di armatura causa la formazione di sostanze chimiche aventi un volume ben superiore al ferro stesso; la matrice cementizia, di conseguenza, viene sollecitata a trazione, con successiva espulsione di porzioni di calcestruzzo (fenomeni "spalling" in corrispondenza degli spigoli, fenomeni di "delaminazione" in corrispondenza delle superfici piane).

La prevenzione di tale fenomeno è stato circoscritto alla qualità del calcestruzzo prescritto, quindi idonea resistenza caratteristica conforme alle reali condizioni ambientali, ad una corretta posa del materiale, unitamente al rispetto del coprifero di progetto.

In generale, la XC presenta in tutto 4 sottoclassi, connesse con le condizioni di umidità dell'ambiente ed, in particolare, passando dalla XC1 alla XC4, l'ambiente aumenta la propria umidità relativa e di conseguenza il pericolo da corrosione.

Sia la UNI 11104 sia le Linee Guida hanno operato un accorpamento della XC1 e XC2, con rapporto a/c = 0,6 e stessa resistenza caratteristica. In realtà, trattandosi di due ambienti diversi, è opportuno operare con due miscele diverse per migliorare il calcestruzzo dal punto di vista qualitativo.

In particolare per le strutture di fondazioni, la miscela dovrà essere formulata in modo da migliorare la sua "impermeabilità" mediante un rapporto a/c inferiore, trattandosi di un calcestruzzo destinato ad opere prevalentemente a contatto con acqua.

5.6 AZIONI DI PROGETTO

La progettazione strutturale delle opere in fondazione, è stata eseguita partendo dai carichi di progetto "Characteristics loads" e "Extreme Wind Loads".

Le azioni di progetto prese in considerazione sono:

- azioni dovute a peso proprio della struttura in elevazione e della struttura di fondazione
- carichi permanenti e variabili
- dedotte dalle seguenti tabelle del documento "D2370721-001 SGRE ON SG 6.0-170 Foundation Loads T115-50"

Load case	F _x (kN)	F _y (kN)	F _z (kN)	M _x (kNm)	M _y (kNm)	M _z (kNm)
Dlc62_V42.5_060_s9	1535,05	50,5	-6826,1	4163,87	178349,5	374,9

Table 4 SG 6.0-170 HH115m Characteristics Loads at the base of the tower

Load case	Load factor	F _x (kN)	F _y (kN)	F _z (kN)	F _{xy} (kN)	M _x (kNm)	M _y (kNm)	M _z (kNm)	M _{xy} (kNm)
Dlc22_3bn_V11.0_n_s7	1,1	1688,55	55,55	-7508,71	1689,47	4580,25	196184,46	412,39	196237,91
Dlc22_3bn_V11.0_n_s7	1,0	1535,05	50,5	-6826,1	1535,88	4163,87	178349,5	374,9	178398,1

Table 3 SG 6.0-170 HH115m Factored/Unfactored Extreme loads at tower bottom

Per la geometria delle macchine installate sopra la torre non sono stati considerati carichi da neve.

In particolare, i carichi di progetto includono il comportamento dinamico della struttura e corrispondono alla condizione di carico più sfavorevole alla base della torre metallica.

Generalmente dalle Relazioni di Calcolo della Torre emerge che di fatto sarà considerata come dimensionante la condizione di carico da vento amplificata di 1,5, in quanto è quella che fornisce le maggiori sollecitazioni di progetto sulla torre.

Per la geometria delle macchine installate sopra la torre non sono stati considerati carichi neve sia quanto ininfluenti ai fini della verifica, sia perché non esistono in pratica possibilità di accumulo neve sia sulle pale che sulla navicella.

Dal valore complessivo dell'azione flettente ($M_{xy}=V(M_x^2+M_y^2+ V(T_x^2+T_y^2)xH_{fond})$) alla base per sisma, sensibilmente inferiore a quella derivante da vento estremo (in rapporto di 1 a 10 circa) in SLV, possiamo sicuramente concludere che tale azione non è dimensionante per le verifiche strutturali che seguono, anche se sommata a sollecitazioni dovute a vento in esercizio della macchina riportate in seguito.

A tal proposito è bene ricordare che per la norma italiana di riferimento, DM 17/01/2018 (8), il fattore di sicurezza per le combinazioni sismiche è 1,00 mentre è 1,50 per il vento, normative di settore quali la CEI IEC 61400-1 prevedono un fattore pari a 1,1.

5.7 COMBINAZIONI DI CARICO

La progettazione strutturale per singolo aerogeneratore è stata eseguita, ai sensi del D.M. 2018 [XI], verificando che l'opera soddisfi i requisiti di sicurezza nei confronti degli Stati Limite Ultimi SLU (Combinazione n° 1) e degli Stati Limite di Esercizio SLE (Combinazioni n° 2,3,4).

Pertanto, sono state considerate combinazioni di carico per azioni verticali e orizzontali, tali da risultare più sfavorevoli ai fini delle singole verifiche, tenendo conto sia della probabilità ridotta di intervento simultaneo di tutte le azioni con i rispettivi valori più sfavorevoli sia della probabilità che l'azione si verifichi con specifica intensità in relazione alle diverse situazioni analizzate.

- Per gli Stati Limite Ultimi è stata adottata la combinazione fondamentale per soli carichi statici, affinchè siano soddisfatte le verifiche allo Stato Limite di salvaguardia della Vita (SLV):

$$\gamma_{G1} \cdot G_1 + \gamma_{G2} \cdot G_2 + \gamma_P \cdot P + \gamma_{Q1} \cdot Q_{k1} + \gamma_{Q2} \cdot \psi_{02} \cdot Q_{k2} + \gamma_{Q3} \cdot \psi_{03} \cdot Q_{k3} + \dots \quad \text{Combinazione n° 1}$$

dove:

G_1 rappresenta il peso proprio di tutti gli elementi strutturali; peso proprio del terreno, quando pertinente; forze indotte dal terreno (esclusi gli effetti di carichi variabili applicati al terreno); forze risultanti dalla pressione dell'acqua (quando si configurino costanti nel tempo);

G_2 rappresenta il peso proprio di tutti gli elementi non strutturali;

P rappresenta pretensione e precompressione;

Q azioni sulla struttura o sull'elemento strutturale con valori istantanei che possono risultare sensibilmente diversi fra loro nel tempo

Q_{ki} rappresenta il valore caratteristico della i-esima azione variabile;

$\gamma_G, \gamma_Q, \gamma_P$ coefficienti parziali come definiti nella tabella 6.2.I delle NTC;

ψ_{0j} sono i coefficienti di combinazione per tenere conto della ridotta probabilità di concomitanza delle azioni variabili con i rispettivi valori caratteristici, come definiti nella tabella 2.5.I. delle NTC

- Per gli Stati Limite di Esercizio degli elementi strutturali, degli elementi non strutturali e degli impianti le verifiche sono state condotte facendo riferimento alle seguenti combinazioni di carico:
- $G_1 + G_2 + P + \psi_{21} \cdot Q_{k1} + \psi_{22} \cdot Q_{k2} + \psi_{23} \cdot Q_{k3} + \dots$

Combinazione n° 2 (quasi permanente)

$$G_1 + G_2 + P + \psi_{11} \cdot Q_{k1} + \psi_{22} \cdot Q_{k2} + \psi_{23} \cdot Q_{k3} + \dots$$

Combinazione n° 3 (frequente)

$$G_1 + G_2 + P + Q_{k1} + \psi_{02} \cdot Q_{k2} + \psi_{03} \cdot Q_{k3} + \dots$$

Combinazione caratteristica n° 4 (rara)

dove:

G_1 rappresenta il peso proprio di tutti gli elementi strutturali; peso proprio del terreno, quando pertinente; forze indotte dal terreno (esclusi gli effetti di carichi variabili applicati al terreno); forze risultanti dalla pressione

dell'acqua (quando si configurino costanti nel tempo);

G_2 rappresenta il peso proprio di tutti gli elementi non strutturali;

P rappresenta pretensione e precompressione;

Q azioni sulla struttura o sull'elemento strutturale con valori istantanei che possono risultare sensibilmente diversi fra loro nel tempo

Q_{ki} rappresenta il valore caratteristico della i-esima azione variabile;

$\psi_{0j}, \psi_{1j}, \psi_{2j}$ sono i coefficienti di combinazione per tenere conto della ridotta probabilità di concomitanza delle azioni variabili con i rispettivi valori caratteristici, come definiti nella tabella 2.5.I.

- In zona sismica, le sollecitazioni derivanti dalle sole azioni sismiche sono combinate con quelle derivanti dai soli carichi statici secondo un'opportuna combinazione sismica,

$$E + G_1 + G_2 + P + \psi_{21} \cdot Q_{k1} + \psi_{22} \cdot Q_{k2} + \dots \quad (\text{Sisma X+}, \text{Sisma Y+})$$

E è l'azione sismica per lo stato limite e per la classe di importanza in esame;

G_1 rappresenta il peso proprio di tutti gli elementi strutturali;

G_2 rappresenta il peso proprio di tutti gli elementi non strutturali;

P rappresenta pretensione e precompressione;

ψ_{2i} coefficiente di combinazione delle azioni variabili Q_i come definiti in tab. 2.5.I. delle NTC

Q_{ki} valore caratteristico dell'azione variabile Q_i

$\gamma_E, \gamma_G, \gamma_P, \gamma_Q$ coefficienti parziali pari ad 1.

5.8 VERIFICHE ALLO STATO LIMITE ULTIMO (SLU)

La progettazione strutturale è stata condotta in conformità a quanto stabilito nella normativa strutturale attualmente in vigore. In particolare le Norme Tecniche per le Costruzioni [XI], nel Capitolo 'Sesto' relativo alla 'Progettazione Geotecnica', impongono la effettuazione di verifiche geotecniche nei confronti degli Stati Limite Ultimi (SLU) secondo due approcci che impongono nelle combinazioni differenti coefficienti parziali nei confronti delle azioni (A), dei parametri geotecnici del terreno (M) e delle resistenze caratteristiche (R):

- Approccio 1: sono previste due combinazioni di gruppi di coefficienti, di cui la prima ($A_1+M_1+R_1$) più cautelativa nei confronti delle verifiche strutturali (STR) e la seconda ($A_2+M_1+R_2$) più cautelativa nei confronti delle verifiche geotecniche (GEO).
- Approccio 2: è prevista una unica combinazione di gruppi di coefficienti ($A_1+M_1+R_3$), da adottare sia nelle verifiche geotecniche, sia nelle verifiche strutturali.

Nello specifico, trattandosi di fondazione su pali per un gruppo di aerogeneratori (WTG01 e WTG02), e di fondazione superficiale per gli altri aerogeneratori in progetto (WTG03, WTG04, WTG05, WTG06) la progettazione ha tenuto conto nelle verifiche allo SLU del contenimento delle azioni di progetto (con i pertinenti fattori amplificativi) da parte delle resistenze strutturali, nelle verifiche allo SLE degli effetti delle azioni di progetto (con i pertinenti fattori amplificativi) rilevandone la compatibilità con l'utilizzo della sovrastruttura.

In particolare, le verifiche SLU e SLE sono state condotte soddisfacendo i requisiti riportati, rispettivamente, nel § 6.4.3.1. e § 6.4.3.2 del DM 2018 [XI].

La citata normativa (§ 6.4.3.1. di [XI]) impone le seguenti verifiche SLU:

- SLU di tipo geotecnico (GEO)

Collasso per carico limite dell'insieme fondazione - terreno

Collasso per scorrimento sul piano di posa^[REF]

Le verifiche GEO sono riportate al paragrafo 6.6.

- SLU di tipo strutturale (STR)**

Raggiungimento della resistenza negli elementi strutturali

Le verifiche STR sono riportate al paragrafo 6.7

- EQU verifica allo stato limite ultimo di equilibrio come corpo rigido (EQU)** per le sole fondazioni dirette-

Le verifiche EQU sono riportate al paragrafo 7.3 per la fondazione di tipo diretto.

Nel caso in esame è stato adottato l'**Approccio 2**, pertanto le azioni di progetto in fondazione derivano da un'analisi strutturale svolta impiegando un'unica combinazione di gruppi di coefficienti parziali A1+M1+R3 (Tabb. 6.2.I, 6.2.II, 6.4.II di [XI]).

In particolare, la resistenza della fondazione soggetta a carichi assiali è stata eseguita ai sensi di quanto indicato dalla normativa DM 2018 [XI] nel § 6.4.2.1.:

Il valore di progetto della resistenza R_d della fondazione è stato determinato in modo analitico, con riferimento al valore caratteristico dei parametri geotecnici del terreno, diviso per il valore del coefficiente parziale γ_M specificato nella Tab. 6.2.II e tenendo conto, ove necessario, dei coefficienti parziali γ_R specificato nella Tab. 6.4.I per ciascun tipo di opera.

Il valore della resistenza caratteristica R_k è stato determinato, facendo riferimento alle procedure analitiche che prevedono l'utilizzo dei parametri geotecnici o dei risultati di prove in sito.

Tab. 6.2.II – Coefficienti parziali per i parametri geotecnici del terreno

Parametro	Grandezza alla quale applicare il coefficiente parziale	Coefficiente parziale γ_M	(M1)	(M2)
Tangente dell'angolo di resistenza al taglio	$\tan \varphi'_k$	$\gamma_{\varphi'}$	1,0	1,25
Coesione efficace	c'_k	γ_c	1,0	1,25
Resistenza non drenata	c_{uk}	γ_{cu}	1,0	1,4
Peso dell'unità di volume	γ_y	γ_y	1,0	1,0

Tab. 6.4.I – Coefficienti parziali γ_R per le verifiche agli stati limite ultimi di fondazioni superficiali

Verifica	Coefficiente parziale (R3)
Carico limite	$\gamma_R = 2,3$
Scorrimento	$\gamma_R = 1,1$

6 DATI

6.1 MATERIALI

Simbologia adottata

n°	Indice materiale
Descrizione	Descrizione materiale
TC	Tipo calcestruzzo
Rck	Resistenza cubica caratteristica, espresso in [N/mmq]
γ_{cls}	Peso specifico calcestruzzo, espresso in [kN/mc]
E	Modulo elastico calcestruzzo, espresso in [N/mmq]
ν	Coeff. di Poisson
n	Coeff. di omogeneizzazione
TA	Tipo acciaio

n°	Descrizione	TC	Rck	γ_{cls}	E	ν	n	TA
			[N/mmq]	[kN/mc]	[N/mmq]			
1	C35/45	C35/45	45,000	24,52	34625,3 49	0.200	15.00	B450C

6.2 GEOMETRIA

Coordinate contorno esterno

n°	X	Y									
	[m]	[m]									
1	27,00	15,00	2	26,94	16,18	3	26,77	17,34	4	26,48	18,48
5	26,09	19,59	6	25,58	20,66	7	24,98	21,67	8	24,28	22,61
9	23,49	23,49	10	22,61	24,28	11	21,67	24,98	12	20,66	25,58
13	19,59	26,09	14	18,48	26,48	15	17,34	26,77	16	16,18	26,94
17	15,00	27,00	18	13,82	26,94	19	12,66	26,77	20	11,52	26,48
21	10,41	26,09	22	9,34	25,58	23	8,33	24,98	24	7,39	24,28
25	6,51	23,49	26	5,72	22,61	27	5,02	21,67	28	4,42	20,66
29	3,91	19,59	30	3,52	18,48	31	3,23	17,34	32	3,06	16,18
33	3,00	15,00	34	3,06	13,82	35	3,23	12,66	36	3,52	11,52
37	3,91	10,41	38	4,42	9,34	39	5,02	8,33	40	5,72	7,39
41	6,51	6,51	42	7,39	5,72	43	8,33	5,02	44	9,34	4,42
45	10,41	3,91	46	11,52	3,52	47	12,66	3,23	48	13,82	3,06
49	15,00	3,00	50	16,18	3,06	51	17,34	3,23	52	18,48	3,52
53	19,59	3,91	54	20,66	4,42	55	21,67	5,02	56	22,61	5,72
57	23,49	6,51	58	24,28	7,39	59	24,98	8,33	60	25,58	9,34
61	26,09	10,41	62	26,48	11,52	63	26,77	12,66	64	26,94	13,82

6.3 SPESSORI PIASTRA

Simbologia adottata

Sp Spessore, espresso in [mm]

n° Indice del punto

X, Y Ascissa e ordinata del punto, espresso in [mm]

Sp [mm]	n°	X [m]	Y [m]									
900,0	1	3,00	3,00	2	27,00	3,00	3	27,00	27,00	4	3,00	27,00
1241,6	1	13,97	4,53	2	16,03	4,53	3	18,05	4,94	4	19,96	5,72
	5	21,67	6,87	6	23,13	8,33	7	24,28	10,04	8	25,06	11,95
	9	25,47	13,97	10	25,47	16,03	11	25,06	18,05	12	24,28	19,96
	13	23,13	21,67	14	21,67	23,13	15	19,96	24,28	16	18,05	25,06
	17	16,03	25,47	18	13,97	25,47	19	11,95	25,06	20	10,04	24,28
	21	8,33	23,13	22	6,87	21,67	23	5,72	19,96	24	4,94	18,05
	25	4,53	16,03	26	4,53	13,97	27	4,94	11,95	28	5,72	10,04
	29	6,87	8,33	30	8,33	6,87	31	10,04	5,72	32	11,95	4,94
1583,2	1	14,12	6,03	2	15,88	6,03	3	17,62	6,37	4	19,25	7,05
	5	20,72	8,03	6	21,97	9,28	7	22,95	10,75	8	23,63	12,38
	9	23,97	14,12	10	23,97	15,88	11	23,63	17,62	12	22,95	19,25
	13	21,97	20,72	14	20,72	21,97	15	19,25	22,95	16	17,62	23,63
	17	15,88	23,97	18	14,12	23,97	19	12,38	23,63	20	10,75	22,95
	21	9,28	21,97	22	8,03	20,72	23	7,05	19,25	24	6,37	17,62
	25	6,03	15,88	26	6,03	14,12	27	6,37	12,38	28	7,05	10,75
	29	8,03	9,28	30	9,28	8,03	31	10,75	7,05	32	12,38	6,37
1924,8	1	14,26	7,52	2	15,74	7,52	3	17,18	7,81	4	18,54	8,37
	5	19,77	9,19	6	20,81	10,23	7	21,63	11,46	8	22,19	12,82
	9	22,48	14,26	10	22,48	15,74	11	22,19	17,18	12	21,63	18,54
	13	20,81	19,77	14	19,77	20,81	15	18,54	21,63	16	17,18	22,19
	17	15,74	22,48	18	14,26	22,48	19	12,82	22,19	20	11,46	21,63
	21	10,23	20,81	22	9,19	19,77	23	8,37	18,54	24	7,81	17,18
	25	7,52	15,74	26	7,52	14,26	27	7,81	12,82	28	8,37	11,46
	29	9,19	10,23	30	10,23	9,19	31	11,46	8,37	32	12,82	7,81
2266,4	1	14,41	9,02	2	15,59	9,02	3	16,74	9,25	4	17,83	9,70
	5	18,81	10,35	6	19,65	11,19	7	20,30	12,17	8	20,75	13,26
	9	20,98	14,41	10	20,98	15,59	11	20,75	16,74	12	20,30	17,83
	13	19,65	18,81	14	18,81	19,65	15	17,83	20,30	16	16,74	20,75
	17	15,59	20,98	18	14,41	20,98	19	13,26	20,75	20	12,17	20,30
	21	11,19	19,65	22	10,35	18,81	23	9,70	17,83	24	9,25	16,74
	25	9,02	15,59	26	9,02	14,41	27	9,25	13,26	28	9,70	12,17
	29	10,35	11,19	30	11,19	10,35	31	12,17	9,70	32	13,26	9,25
2608,0	1	14,56	10,51	2	15,44	10,51	3	16,31	10,69	4	17,12	11,02
	5	17,86	11,52	6	18,48	12,14	7	18,98	12,88	8	19,31	13,69
	9	19,49	14,56	10	19,49	15,44	11	19,31	16,31	12	18,98	17,12
	13	18,48	17,86	14	17,86	18,48	15	17,12	18,98	16	16,31	19,31
	17	15,44	19,49	18	14,56	19,49	19	13,69	19,31	20	12,88	18,98
	21	12,14	18,48	22	11,52	17,86	23	11,02	17,12	24	10,69	16,31
	25	10,51	15,44	26	10,51	14,56	27	10,69	13,69	28	11,02	12,88
	29	11,52	12,14	30	12,14	11,52	31	12,88	11,02	32	13,69	10,69
3550,0	1	14,71	12,01	2	15,29	12,01	3	15,87	12,12	4	16,42	12,35
	5	16,91	12,68	6	17,32	13,09	7	17,65	13,58	8	17,88	14,13
	9	17,99	14,71	10	17,99	15,29	11	17,88	15,87	12	17,65	16,42
	13	17,32	16,91	14	16,91	17,32	15	16,42	17,65	16	15,87	17,88
	17	15,29	17,99	18	14,71	17,99	19	14,13	17,88	20	13,58	17,65
	21	13,09	17,32	22	12,68	16,91	23	12,35	16,42	24	12,12	15,87
	25	12,01	15,29	26	12,01	14,71	27	12,12	14,13	28	12,35	13,58

Sp	n°	X [m]	Y [m]									
	29	12,68	13,09	30	13,09	12,68	31	13,58	12,35	32	14,13	12,12

6.4 DESCRIZIONE TERRENI

Sulla scorta degli studi delle risultanze delle indagini geognostiche effettuate è stato possibile elaborare per l'area di progetto un modello geologico di riferimento, il quale tiene conto di tutte le informazioni acquisite durante il presente studio, che viene nel seguito esplicitato.

All'interno dell'area progettuale le caratteristiche stratigrafiche e geotecniche del sedime di fondazione sono abbastanza omogenee consentendo di individuare due distinte successioni di terreni: la prima per il gruppo di aerogeneratori costituito dagli aerogeneratori A01,A02,A03,A04,A05,A08,A09, la seconda per il gruppo di aerogeneratori costituito dai A06 ed A07.

In particolare si rileva la presenza di sabbie limose per una profondità pari a mt 4,00 ÷ 6,00 e argille fino ai 10 mt (massima profondità indagata) per le successioni A01,A02,A03,A04,A05,A08,A09, sabbie o sabbie limose su litotipo calcareo per i primi 5÷7 mt e successivo litotipo calcareo fino a 10 mt (massima profondità indagata) per le successioni A06 ed A07.

La falda idrica superficiale non è presente in nessuna delle aree investigate, mentre quella profonda non ha interazione con le opere in progetto.

Alla luce di quanto detto è possibile distinguere all'interno dell'area interessata dal parco eolico le seguenti unità litologiche [U.L.]:

Siti di ubicazione degli aerogeneratori A01,A02,A03,A04,A05,A08,A09

- Unità Litologica 1: Sabbie limose
- Unità Litologica 2: Argille con basso grado di consolidazione crescente con la profondità o sabbie (A=3 ed A04)

Siti di ubicazione degli aerogeneratori A06 ed A07

- Unità Litologica 3: Sabbie limose
- Unità Litologica 4: Litotipo calcareo con grado di coesione crescente con la profondità

Sulla base dei modelli geologico di riferimento è possibile inoltre considerare i seguenti aspetti, valevoli per tutta l'area progettuale:

Categoria di sottosuolo A- B-C

Categoria Topografica T1

Rischio liquefazione dei terreni : Nullo

Rischio instabilità dei terreni : Situazione Stabile

Pericolosità geo-sismica del sito : Bassa

In accordo con il modello geologico, sintetizzando le risultanze delle indagini geognostiche effettuate unitamente ai dati bibliografici in possesso dello scrivente, è stato elaborato il modello geotecnico dell'area in studio, il quale è formato dalle seguenti unità geotecniche:

I valori delle principali caratteristiche fisiche e meccaniche sono stati ricavati dall'elaborazione di tutte le prove eseguite oltre che da dati bibliografici in possesso dello scrivente riguardanti indagini pregresse su terreni simili a quelli in studio.

In particolare sono state parametrizzate le Unità geotecniche 1 e 2 di entrambi i gruppi di aerogeneratori.

UNITÀ GEOTECNICA 1 e 3: Sabbie limose

In pratica, data la profondità del piano di intradosso della piastra di fondazione e considerando la presenza di sottostante spessore in calcestruzzo magro, tale strato non sarà interessato dalle strutture.

Parametri geotecnici principali caratteristici:

γ (kN/m³) Peso per unità di volume naturale 16.7

ϕ (°) Angolo di attrito 29°

cu (kPa) Coesione non drenata 56

E (Mpa) Modulo Elastico 361

E_{ED} (Mpa) Modulo edometrico 580

n Coefficiente di Poisson 0,35

UNITA' GEOTECNICA 2: Argille con basso grado di consolidazione crescente con la profondità

Falda: Assente.

Caratteristiche geotecniche generali: terreni a comportamento geotecnico da discreto a buono, prevalentemente coerente, a consistenza generalmente medio-bassa nei livelli superficiali, che tende ad aumentare con la profondità.

Comportamento Strato: addensato

Stato di addensamento: mediamente addensato.

Parametri geotecnici principali caratteristici:

γ (kN/m³) Peso per unità di volume naturale 21.2

ϕ (°) Angolo di attrito 36°

cu (kPa) Coesione non drenata 200

E (Mpa) Modulo Elastico 2184

E_{ED} (Mpa) Modulo edometrico 3505

n Coefficiente di Poisson 0,35

UNITA' GEOTECNICA 4: Litotipo calcareo con grado di coesione crescente con la profondità

Falda: Assente.

Caratteristiche geotecniche generali: terreni a comportamento geotecnico da discreto a buono, con comportamento assibilabile ad un ammasso roccioso dalle discrete qualità.

Comportamento Strato: Roccioso

Parametri geotecnici principali caratteristici:

γ (kN/m³) Peso per unità di volume naturale 21.8

ϕ (°) Angolo di attrito 26°

c' (kPa) Coesione efficace 204

E (Mpa) Modulo Elastico Statico 2668

E_{ED} (Mpa) Modulo edometrico 4281

n Coefficiente di Poisson 0,35

KW Costante di Winkler (kg/cmc) 10

Le stratigrafie per singolo aerogeneratore sono riportate di seguito.

AEROGENATORE A01

È possibile ricostruire un modello geologico del sottosuolo e stimare i seguenti parametri meccanici:

Litotipo	Profondità	Parametri geotecnici		
[1] Terreno vegetale	0,00 m ÷ 0,20 m	-	-	
[2] Sabbie limose	0,20 m ÷ 5,80 m	Velocità Vp	Vp= 568 m/s	
		Velocità Vs	Vs= 273 m/s	
		Coesione non drenata (Terzaghi - Peck)	Cu= 0,56 kg/cm ²	
		Angolo d'attrito (Peck-Hanson-Thornburn-Meyerhof 1956)	$\phi= 29,38^\circ$	
		Modulo elastico (di Young)	Ey= 361 MPa	
		Modulo edometrico	Ed= 580 MPa	
		Modulo di Poisson (AGI)	0,34	
		Classificazione AGI (1977)	Poco addensato	
		Peso unità di volume (Meyerhof et al.)	$\gamma= 1,67 \text{ t/m}^3$	
		Peso unità di volume saturo (Terzaghi-Peck 1948/1967)	$\gamma_{sat}= 1,91 \text{ t/m}^3$	
		Coefficiente di spinta a riposo (Navfac 1971/1982)	1,74	
		Falda superficiale dal p.c.	Non rilevata	
[3] Argille	5,80 m ÷ 10,00 m	Velocità Vp	Vp= 1395	
		Velocità Vs	Vs= 670	
		Coesione non drenata (Terzaghi - Peck)	Cu= 2,08 kg/cm ²	
		Angolo d'attrito (Uzielli e Mayne)	$\phi\leq 26^\circ$	
		Modulo elastico (di Young)	Ey= 2184 MPa	
		Modulo edometrico	Ed= 3505 MPa	
		Modulo di Poisson	$\nu= 0,35$	
		Classificazione AGI (1977)	Estremamente consistente	
		Peso unità di volume (Meyerhof)	$\gamma= 2,18 \text{ t/m}^3$	
		Peso unità di volume saturo (Meyerhof)	$\gamma_{sat}= 2,40 \text{ t/m}^3$	
CATEGORIA SOTTOSUOLO		Falda superficiale dal p.c.	Non rilevata	
		$V_{s, eq}= 538 \text{ m/s}$	B	

AEROGENATORE A02

È possibile ricostruire un modello geologico del sottosuolo e stimare i seguenti parametri meccanici:

Litotipo	Profondità	Parametri geotecnici		
[1] Terreno vegetale	0,00 m ÷ 0,40 m	-	-	
[2] Sabbie limose	0,20 m ÷ 5,20 m	Velocità Vp	Vp= 936 m/s	
		Velocità Vs	Vs= 450 m/s	
		Coesione non drenata (Terzaghi - Peck)	Cu= 0,56 kg/cm ²	
		Angolo d'attrito (Peck-Hanson-Thornburn-Meyerhof 1956)	$\phi = 29,39^\circ$	
		Modulo elastico (di Young)	Ey= 983 MPa	
		Modulo edometrico	Ed= 1577 MPa	
		Modulo di Poisson (AGI)	0,34	
		Classificazione AGI (1977)	Poco addensato	
		Peso unità di volume (Meyerhof et al.)	$\gamma = 1,67 \text{ t/m}^3$	
		Peso unità di volume saturo (Terzaghi-Peck 1948/1967)	$\gamma_{sat} = 1,91 \text{ t/m}^3$	
[3] Argille	5,20 m ÷ 10,00 m	Coefficiente di spinta a riposo (Navfac 1971/1982)	K ₀ = 1,75	
		Falda superficiale dal p.c.	Non rilevata	
		Velocità Vp	Vp= 1927 m/s	
		Velocità Vs	Vs= 926 m/s	
		Coesione non drenata (Terzaghi - Peck)	Cu= 1,71 kg/cm ²	
		Angolo d'attrito (Uzielli e Mayne)	$\phi \leq 26^\circ$	
		Modulo elastico (di Young)	Ey= 4165 MPa	
		Modulo edometrico	Ed= 6685 MPa	
		Modulo di Poisson	$\nu = 0,35$	
		Classificazione AGI (1977)	Molto consistente	
CATEGORIA SOTTOSUOLO		Peso unità di volume (Meyerhof)	$\gamma = 2,12 \text{ t/m}^3$	
		Peso unità di volume saturo (Meyerhof)	$\gamma_{sat} = 2,23 \text{ t/m}^3$	
		Falda superficiale dal p.c.	Non rilevata	
		V _{s, eq}	B	

AEROGENATORE A03

È possibile ricostruire un modello geologico del sottosuolo e stimare i seguenti parametri meccanici:

Litotipo	Profondità	Parametri geotecnici	
[1] Terreno vegetale	0,00 m ÷ 0,20 m	-	-
[2] Sabbie limose	0,20 m ÷ 4,20 m	Velocità Vp	Vp= 574 m/s
		Velocità Vs	Vs= 276 m/s
		Coesione non drenata (Terzaghi - Peck)	Cu= 0,49 kg/cm ²
		Angolo d'attrito (Peck-Hanson-Thornburn-Meyerhof 1956)	φ= 29,06°
		Modulo elastico (di Young)	Ey= 360 MPa
		Modulo edometrico	Ed= 594 MPa
		Modulo di Poisson (AGI)	v= 0,34
		Classificazione AGI (1977)	Poco addensato
		Peso unità di volume (Meyerhof et al.)	γ= 1,63 t/m ³
		Peso unità di volume saturo (Terzaghi-Peck 1948/1967)	γsat= 1,90 t/m ³
		Coefficiente di spinta a riposo (Navfac 1971/1982)	K ₀ = 1,49
		Falda superficiale dal p.c.	Non rilevata
		Velocità Vp	Vp= 1004 m/s
[3] Sabbie	4,20 m ÷ 9,20 m	Velocità Vs	Vs= 482 m/s
		Coesione	c'= 0,02 kg/cm ²
		Angolo d'attrito (Peck-Hanson-Thornburn-Meyerhof 1956)	φ= 33,36°
		Modulo elastico (di Young)	Ey= 1131 MPa
		Modulo edometrico	Ed= 1814 MPa
		Modulo di Poisson (AGI)	v= 0,31
		Classificazione AGI (1977)	Moderatamente addensato
		Peso unità di volume (Meyerhof)	γ= 2,03 t/m ³
		Peso unità di volume saturo (Meyerhof)	γsat= 1,99 t/m ³
		Coefficiente di spinta a riposo (Navfac 1971/1982)	K ₀ = 4,44
		Falda superficiale dal p.c.	Non rilevata
CATEGORIA SOTTOSUOLO		V _{s, eq} = 370 m/s	B

AEROGENERATORE A64

È possibile ricostruire un modello geologico del sottosuolo e stimare i seguenti parametri necessari:

Lato/po	Profondità	Parametri geotecnici
[1] Terreno vegetale	0,00 m + 0,40 m	- -
[2] Sabbia flosce	0,40 m + 1,60 m	Velocità Vp Velocità Vs Cohesione non dinastica (Terzaghi - Peck) Angolo d'attrito (Peck-Hanson-Thornburn-Meyerhof 1956) Modulo elastico (di Young) Modulo edometrico Modulo di Polacco (ACI) Classificazione ACI (1977) Peso unità di volume (Meyerhof et al.) Peso unità di volume secco (Terzaghi-Peck 1948/1967) Coefficiente di spinta a riposo (Nedler 1971/1982) Falda superficiale dal p.c. -
[3] Sabbie	1,60 m + 2,80 m	Velocità Vp Velocità Vs Cohesione Angolo d'attrito (Peck-Hanson-Thornburn-Meyerhof 1956) Modulo elastico (di Young) Modulo edometrico Modulo di Polacco v= 0,28 (ACI) Classificazione ACI (1977) Peso unità di volume (Meyerhof) Peso unità di volume secco (Meyerhof) Coefficiente di spinta a riposo (Nedler 1971/1982) Falda superficiale dal p.c. -
[4] Sabbie flosce	2,80 m + 10,00	Velocità Vp Velocità Vs Cohesione non dinastica (Terzaghi - Peck) Angolo d'attrito (Peck-Hanson-Thornburn-Meyerhof 1956) Modulo elastico (di Young) Modulo edometrico

	Modulo di Polacco (ACI)	v= 0,34
	Classificazione ACI (1977)	Poco addensato
	Peso unità di volume (Meyerhof)	$\gamma = 1,67 \text{ kN/m}^3$
	Peso unità di volume secco (Meyerhof)	$\gamma_{\text{seco}} = 1,31 \text{ kN/m}^3$
	Coefficiente di spinta a riposo (Nedler 1971/1982)	K _s = 1,71
CATEGORIA SOTTOSUOLO	Falda superficiale dal p.c.	Non rilevata
	$V_{s,64} < 551 \text{ m/s}$	B

AEROGENATORE A05

È possibile ricostruire un modello geologico del sottosuolo e stimare i seguenti parametri meccanici:

Litotipo	Profondità	Parametri geotecnici		
[1] Terreno vegetale	0,00 m ÷ 0,40 m	-	-	
[2] Sabbie limose	0,20 m ÷ 5,20 m	Velocità Vp	Vp= 767 m/s	
		Velocità Vs	Vs= 369 m/s	
		Coesione non drenata (Terzaghi - Peck)	Cu= 0,60 kg/cm ²	
		Angolo d'attrito (Peck-Hanson-Thornburn-Meyerhof 1956)	φ= 29,54°	
		Modulo elastico (di Young)	Ey= 660 MPa	
		Modulo edometrico	Ed= 1060 MPa	
		Modulo di Poisson (AGI)	0,34	
		Classificazione AGI (1977)	Poco addensato	
		Peso unità di volume (Meyerhof et al.)	γ= 1,69 t/m ³	
		Peso unità di volume saturo (Terzaghi-Peck 1948/1967)	γ _{sat} = 1,91 t/m ³	
[3] Argille	5,20 m ÷ 10,00 m	Coefficiente di spinta a riposo (Navfac 1971/1982)	K ₀ = 1,87	
		Falda superficiale dal p.c.	Non rilevata	
		Velocità Vp	Vp= 1542 m/s	
		Velocità Vs	Vs= 741 m/s	
		Coesione non drenata (Terzaghi - Peck)	Cu= 2,08 kg/cm ²	
		Angolo d'attrito (Uzielli e Mayne)	φ≤ 26°	
		Modulo elastico (di Young)	Ey= 2668 MPa	
CATEGORIA SOTTOSUOLO		Modulo edometrico	Ed= 4281 MPa	
		Modulo di Poisson	v= 0,35	
		Classificazione AGI (1977)	Estremamente consistente	
		Peso unità di volume (Meyerhof)	γ= 2,18 t/m ³	
		Peso unità di volume saturo (Meyerhof)	γ _{sat} = 2,40 t/m ³	
		Falda superficiale dal p.c.	Non rilevata	
		V _{s, eq}	B	
		519 m/s		

AEROGENATORE A06

È possibile ricostruire un modello geologico del sottosuolo e stimare i seguenti parametri meccanici:

Litotipo	Profondità	Parametri geotecnici		
[1] Terreno vegetale	0,00 m ÷ 0,20 m	-	-	
[2] Sabbie		Velocità Vp	Vp= 819 m/s	
		Velocità Vs	Vs= 393 m/s	
		Coesione	c'= 0,02 kg/cm ²	
		Angolo d'attrito (Peck-Hanson-Thornburn-Meyerhof 1956)	φ= 37,31°	
		Modulo elastico (di Young)	Ey= 752 MPa	
		Modulo edometrico	Ed= 1207 MPa	
		Modulo di Poisson (AGI)	0,28	
		Classificazione AGI (1977)	Addensato	
		Peso unità di volume (Meyerhof et al.)	γ= 2,18 t/m ³	
[3] Litotipo calcareo	5,20 m ÷ profondità di interesse geotecnica	Peso unità di volume saturo (Terzaghi-Peck 1948/1967)	γ _{sat} = 2,08 t/m ³	
		Coefficiente di spinta a riposo (Navfac 1971/1982)	K ₀ = 6,41	
		Falda superficiale dal p.c.	Non rilevata	
		Velocità Vp	Vp= 1740 m/s	
		Velocità Vs	Vs= 836 m/s	
		Coesione (Mohr-Coulomb)	c'= 2,04 kg/cm ²	
		Angolo d'attrito (Mohr-Coulomb)	φ= 34,76°	
		Modulo elastico (di Young)	Ey= 3395 MPa	
		Modulo edometrico	Ed= 5449 MPa	
		Modulo di Poisson	v= 0,35	
CATEGORIA SOTTOSUOLO		Peso unità di volume (Tezcan et al.)	γ= 2,50 t/m ³	
		Falda superficiale dal p.c.	Non rilevata	
		V _{s, eq} = 1023 m/s	A	

AEROGENATORE A07

È possibile ricostruire un modello geologico del sottosuolo e stimare i seguenti parametri meccanici:

Litotipo	Profondità	Parametri geotecnici	
[1] Terreno vegetale	0,00 m ÷ 0,40 m	-	-
		Velocità Vp	Vp= 1189 m/s
		Velocità Vs	Vs= 571 m/s
		Coesione non drenata (Terzaghi-Peck)	Cu= 1,13 kg/cm ²
		Angolo d'attrito (Peck-Hanson-Thornburn-Meyerhof 1956)	$\phi = 31,77^\circ$
		Modulo elastico (di Young)	Ey= 1585 MPa
		Modulo edometrico	Ed= 2544 MPa
		Modulo di Poisson (AGI)	0,32
		Classificazione AGI (1977)	Moderatamente addensato
		Peso unità di volume (Meyerhof et al.)	$\gamma = 1,92 \text{ t/m}^3$
		Peso unità di volume saturo (Terzaghi-Peck 1948/1967)	$\gamma_{sat} = 1,96 \text{ t/m}^3$
		Coefficiente di spinta a riposo (Navfac 1971/1982)	K ₀ =3,45
[2] Sabbie limose	0,40 m ÷ 7,00 m	Falda superficiale dal p.c.	Non rilevata
		Velocità Vp	Vp= 2308 m/s
		Velocità Vs	Vs= 1109 m/s
		Coesione (Mohr-Coulomb)	c'=2,71 kg/cm ²
		Angolo d'attrito (Mohr-Coulomb)	$\phi = 39,4^\circ$
		Modulo elastico (di Young)	Ey= 5977 MPa
		Modulo edometrico	Ed= 9592 MPa
		Modulo di Poisson	v= 0,35
		Peso unità di volume (Tezcan et al.)	$\gamma = 2,6 \text{ t/m}^3$
		Falda superficiale dal p.c.	Non rilevata
CATEGORIA SOTTOSUOLO		V _{s, eq} = 603 m/s	B

AEROGENERATORE A08

Litotipo	Profondità	Parametri geotecnici		
[1] Terreno vegetale	0,00 m ÷ 0,40 m	-	-	
[2] Sabbie limose	0,40 m ÷ 6,60 m	Velocità Vp	Vp= 1026 m/s	
		Velocità Vs	Vs= 493 m/s	
		Coesione non drenata (Terzaghi - Peck)	Cu= 0,53 kg/cm ²	
		Angolo d'attrito (Peck-Hanson-Thornburn-Meyerhof 1956)	$\phi = 29,23^\circ$	
		Modulo elastico (di Young)	Ey= 1181 MPa	
		Modulo edometrico	Ed= 1895 MPa	
		Modulo di Poisson (AGI)	0,34	
		Classificazione AGI (1977)	Poco addensato	
		Peso unità di volume (Meyerhof et al.)	$\gamma = 1,65 \text{ t/m}^3$	
		Peso unità di volume satura (Terzaghi-Peck 1948/1967)	$\gamma_{sat} = 1,90 \text{ t/m}^3$	
[3] Argille	6,60 m ÷ 10,00 m	Coefficiente di spinta a riposo (Navfac 1971/1982)	K ₀ = 1,63	
		Falda superficiale dal p.c.	Non rilevata	
		Velocità Vp	Vp= 1657 m/s	
		Velocità Vs	Vs= 796 m/s	
		Coesione non drenata (Terzaghi - Peck)	Cu= 2,00 kg/cm ²	
		Angolo d'attrito (Uzielli e Mayne)	$\phi \leq 26^\circ$	
		Modulo elastico (di Young)	Ey= 3079 MPa	
		Modulo edometrico	Ed= 4942 MPa	
		Modulo di Poisson	$\nu = 0,35$	
		Classificazione AGI (1977)	Molto consistente	
CATEGORIA SOTTOSUOLO		Peso unità di volume (Meyerhof)	$\gamma = 2,16 \text{ t/m}^3$	
		Peso unità di volume satura (Meyerhof)	$\gamma_{sat} = 2,36 \text{ t/m}^3$	
		Falda superficiale dal p.c.	Non rilevata	
		V _{s, eq} = 372 m/s	B	

AEROGENATORE A09

Litotipo	Profondità	Parametri geotecnici		
[1] Terreno vegetale	0,00 m ÷ 0,40 m	-	-	
[2] Sabbie limose	0,20 m ÷ 6,00 m	Velocità Vp	Vp= 803 m/s	
		Velocità Vs	Vs= 386 m/s	
		Coesione non drenata (Terzaghi - Peck)	Cu= 0,67 kg/cm ²	
		Angolo d'attrito (Peck-Hanson-Thornburn-Meyerhof 1956)	$\phi = 29,84^\circ$	
		Modulo elastico (di Young)	Ey= 723 MPa	
		Modulo edometrico	Ed= 1160 MPa	
		Modulo di Poisson (AGI)	0,33	
		Classificazione AGI (1977)	Poco addensato	
		Peso unità di volume (Meyerhof et al.)	$\gamma = 1,73 \text{ t/m}^3$	
		Peso unità di volume saturo (Terzaghi-Peck 1948/1967)	$\gamma_{sat} = 1,92 \text{ t/m}^3$	
[3] Argille	6,00 m ÷ 10,00 m	Coefficiente di spinta a riposo (Navfac 1971/1982)	K ₀ = 2,09	
		Falda superficiale dal p.c.	Non rilevata	
		Velocità Vp	Vp= 1787 m/s	
		Velocità Vs	Vs= 858 m/s	
		Coesione non drenata (Terzaghi - Peck)	Cu= 1,37 kg/cm ²	
		Angolo d'attrito (Uzielli e Mayne)	$\phi \leq 26^\circ$	
		Modulo elastico (di Young)	Ey= 3580 MPa	
		Modulo edometrico	Ed= 5746 MPa	
		Modulo di Poisson	$\nu = 0,35$	
		Classificazione AGI (1977)	Molto consistente	
CATEGORIA SOTTOSUOLO		Peso unità di volume (Meyerhof)	$\gamma = 2,10 \text{ t/m}^3$	
		Peso unità di volume saturo (Meyerhof)	$\gamma_{sat} = 2,31 \text{ t/m}^3$	
		Falda superficiale dal p.c.	Non rilevata	
		V _{s, eq} = 566 m/s	B	

In definitiva si assumono i seguenti modelli geotecnici.

Caratteristiche fisico meccaniche

Simbologia adottata

DESCRIZIONE	DESCRIZIONE TERRENO
γ	Peso di volume del terreno espresso in [kN/mc]
γ_{sat}	Peso di volume saturo del terreno espresso in [kN/mc]
ϕ	Angolo di attrito interno del terreno espresso in gradi
ϕ_a	Angolo di attrito fondazione-terreno espresso in gradi
c	Coesione del terreno espresso in [N/mmq]
ca	Adesione del terreno espresso in [N/mmq]
τ_t	Tensione tangenziale, per calcolo portanza micropali con il metodo di Bustamante-Doix, espressa in [N/mmq]
ϵ	Coeff. di espansione laterale

DESCRIZIONE	γ [kN/mc]	γ_{sat} [kN/mc]	ϕ [°]	ϕ_a [°]	c [N/mmq]	ca [N/mmq]	τ_t [N/mmq]	ϵ
Sabbie limose	16,700	19,100	0,00	0,00	0,5600	0,2800	0,0000	1,00
ARGILLA	21,800	21,800	0,00	0,00	2,0000	1,0000	0,0000	1,00
			0,00	0,00	2,0000	1,0000	0,0000	
			0,00	0,00	2,0000	1,0000	0,0000	

Descrizione	$\bar{\gamma}$ [kN/mc]	$\bar{\gamma}_{sat}$ [kN/mc]	φ [°]	δ [°]	c [N/mmq]	ca [N/mmq]
SABBIE	21,800	21,800	37.00	24.67	0,0200	0,0100
Litotipo calcareo	25,000	25,000	34.00	22.67	0,2000	0,1000

Modello geotecnico aerogeneratori A06 A07

Caratteristiche di deformabilità

Simbologia adottata

Descrizione	Descrizione terreno
Ed	Modulo edometrico espresso in [N/mmq]
RR	Rapporto di ricompressione
CR	Rapporto di compressione
OCR	Grado di sovraconsolidazione
E	Modulo elastico espresso in [N/mmq]
$\bar{\gamma}$	Coefficiente di Poisson

Descrizione	Ed [N/mmq]	RR	CR	OCR	E [N/mmq]	$\bar{\gamma}$
SABBIE	1207,000	0.0000	0.0000	0.0000	572,000	0.370
Litotipo calcareo	5449,000	0.0000	0.0000	1.0000	3395,000	0.300

Descrizione stratigrafia adottata per il modello geotecnico e falda

Simbologia adottata

N	Identificativo strato
Z1	Quota dello strato in corrispondenza del punto di sondaggio n°1 espresso in [m]
Z2	Quota dello strato in corrispondenza del punto di sondaggio n°2 espresso in [m]
Z3	Quota dello strato in corrispondenza del punto di sondaggio n°3 espresso in [m]
Terreno	Terreno associato allo strato

N	Z1 [m]	Z2 [m]	Z3 [m]	Terreno	Ks	Kw [Kg/cm ² /cm]	$\bar{\gamma}$
1	-6,0	-6,0	-6,0	Sabbie limose	0.000	0.000	1.000
2	-35,0	-35,0	-35,0	ARGILLA	0.700	1.500	1.000

Fondazioni profonde aerogeneratori A01,A02,A03,A04,A05,A08,A09

N	Z1 [m]	Z2 [m]	Z3 [m]	Terreno
1	-5,0	-5,0	-5,0	SABBIE
2	-35,0	-35,0	-40,0	Litotipo calcareo

Fondazioni superficiali aerogeneratori A06 ed A07

Falda

Falda non presente

6.5 CARICHI

Convenzioni adottate

Carichi e reazioni vincolari

Fz	Carico verticale positivo verso il basso
Fx	Forza orizzontale in direzione X positiva nel verso delle X crescenti.
Fy	Forza orizzontale in direzione Y positiva nel verso delle Y crescenti.
Mx	Momento con asse vettore parallelo all'asse X positivo antiorario.
My	Momento con asse vettore parallelo all'asse Y positivo antiorario.

Sollecitazioni

- Mx Momento flettente X con asse vettore parallelo all'asse Y (positivo se tende le fibre inferiori).
 My Momento flettente Y con asse vettore parallelo all'asse X (positivo se tende le fibre inferiori).
 Mxy Momento flettente XY.

Condizioni di carico

Carichi concentrati

Simbologia adottata

Ic	Indice carico
X	Ascissa carico espressa in [m]
Y	Ordinata carico espressa in [m]
N	Carico verticale espresso in [kN]
Mx	Momento intorno all'asse X espresso in [kNm]
My	Momento intorno all'asse Y espresso in [kNm]
Tx	Forza orizzontale in direzione X espressa in [kN]
Ty	Forza orizzontale in direzione Y espressa in [kN]

Condizione n° 1 - Permanenti torre [Permanente]

Oggetto	X [m]	Y [m]	N [kN]	Mx [kNm]	My [kNm]	Tx [kN]	Ty [kN]
Piastra	17,18	15,00	65,635	0,000	0,000	0,000	0,000
Piastra	17,17	15,13	65,635	0,000	0,000	0,000	0,000
Piastra	17,16	15,26	65,635	0,000	0,000	0,000	0,000
Piastra	17,14	15,39	65,635	0,000	0,000	0,000	0,000
Piastra	17,11	15,52	65,635	0,000	0,000	0,000	0,000
Piastra	17,08	15,65	65,635	0,000	0,000	0,000	0,000
Piastra	17,03	15,77	65,635	0,000	0,000	0,000	0,000
Piastra	16,98	15,89	65,635	0,000	0,000	0,000	0,000
Piastra	16,93	16,01	65,635	0,000	0,000	0,000	0,000
Piastra	16,86	16,13	65,635	0,000	0,000	0,000	0,000
Piastra	16,79	16,24	65,635	0,000	0,000	0,000	0,000
Piastra	16,71	16,34	65,635	0,000	0,000	0,000	0,000
Piastra	16,63	16,44	65,635	0,000	0,000	0,000	0,000
Piastra	16,54	16,54	65,635	0,000	0,000	0,000	0,000
Piastra	16,44	16,63	65,635	0,000	0,000	0,000	0,000
Piastra	16,34	16,71	65,635	0,000	0,000	0,000	0,000
Piastra	16,24	16,79	65,635	0,000	0,000	0,000	0,000
Piastra	16,13	16,86	65,635	0,000	0,000	0,000	0,000
Piastra	16,01	16,93	65,635	0,000	0,000	0,000	0,000
Piastra	15,89	16,98	65,635	0,000	0,000	0,000	0,000
Piastra	15,77	17,03	65,635	0,000	0,000	0,000	0,000
Piastra	15,65	17,08	65,635	0,000	0,000	0,000	0,000
Piastra	15,52	17,11	65,635	0,000	0,000	0,000	0,000
Piastra	15,39	17,14	65,635	0,000	0,000	0,000	0,000
Piastra	15,26	17,16	65,635	0,000	0,000	0,000	0,000
Piastra	15,13	17,17	65,635	0,000	0,000	0,000	0,000
Piastra	15,00	17,18	65,635	0,000	0,000	0,000	0,000
Piastra	14,87	17,17	65,635	0,000	0,000	0,000	0,000
Piastra	14,74	17,16	65,635	0,000	0,000	0,000	0,000
Piastra	14,61	17,14	65,635	0,000	0,000	0,000	0,000
Piastra	14,48	17,11	65,635	0,000	0,000	0,000	0,000
Piastra	14,35	17,08	65,635	0,000	0,000	0,000	0,000
Piastra	14,23	17,03	65,635	0,000	0,000	0,000	0,000
Piastra	14,11	16,98	65,635	0,000	0,000	0,000	0,000
Piastra	13,99	16,93	65,635	0,000	0,000	0,000	0,000
Piastra	13,87	16,86	65,635	0,000	0,000	0,000	0,000
Piastra	13,76	16,79	65,635	0,000	0,000	0,000	0,000
Piastra	13,66	16,71	65,635	0,000	0,000	0,000	0,000
Piastra	13,56	16,63	65,635	0,000	0,000	0,000	0,000
Piastra	13,46	16,54	65,635	0,000	0,000	0,000	0,000
Piastra	13,37	16,44	65,635	0,000	0,000	0,000	0,000
Piastra	13,29	16,34	65,635	0,000	0,000	0,000	0,000
Piastra	13,21	16,24	65,635	0,000	0,000	0,000	0,000
Piastra	13,14	16,13	65,635	0,000	0,000	0,000	0,000
Piastra	13,07	16,01	65,635	0,000	0,000	0,000	0,000
Piastra	13,02	15,89	65,635	0,000	0,000	0,000	0,000
Piastra	12,97	15,77	65,635	0,000	0,000	0,000	0,000
Piastra	12,92	15,65	65,635	0,000	0,000	0,000	0,000
Piastra	12,89	15,52	65,635	0,000	0,000	0,000	0,000
Piastra	12,86	15,39	65,635	0,000	0,000	0,000	0,000
Piastra	12,84	15,26	65,635	0,000	0,000	0,000	0,000
Piastra	12,83	15,13	65,635	0,000	0,000	0,000	0,000
Piastra	12,82	15,00	65,635	0,000	0,000	0,000	0,000
Piastra	12,83	14,87	65,635	0,000	0,000	0,000	0,000

Oggetto	X [m]	Y [m]	N [kN]	Mx [kNm]	My [kNm]	Tx [kN]	Ty [kN]
Piastra	13,76	16,79	-896,036	0,000	0,000	14,768	0,000
Piastra	13,66	16,71	-972,781	0,000	0,000	14,768	0,000
Piastra	13,56	16,63	-1045,975	0,000	0,000	14,768	0,000
Piastra	13,46	16,54	-1115,354	0,000	0,000	14,768	0,000
Piastra	13,37	16,44	-1180,662	0,000	0,000	14,768	0,000
Piastra	13,29	16,34	-1241,663	0,000	0,000	14,768	0,000
Piastra	13,21	16,24	-1298,132	0,000	0,000	14,768	0,000
Piastra	13,14	16,13	-1349,865	0,000	0,000	14,768	0,000
Piastra	13,07	16,01	-1396,673	0,000	0,000	14,768	0,000
Piastra	13,02	15,89	-1438,384	0,000	0,000	14,768	0,000
Piastra	12,97	15,77	-1474,846	0,000	0,000	14,768	0,000
Piastra	12,92	15,65	-1505,927	0,000	0,000	14,768	0,000
Piastra	12,89	15,52	-1531,513	0,000	0,000	14,768	0,000
Piastra	12,86	15,39	-1551,511	0,000	0,000	14,768	0,000
Piastra	12,84	15,26	-1565,848	0,000	0,000	14,768	0,000
Piastra	12,83	15,13	-1574,471	0,000	0,000	14,768	0,000
Piastra	12,82	15,00	-1577,348	0,000	0,000	14,768	0,000
Piastra	12,83	14,87	-1574,471	0,000	0,000	14,768	0,000
Piastra	12,84	14,74	-1565,848	0,000	0,000	14,768	0,000
Piastra	12,86	14,61	-1551,511	0,000	0,000	14,768	0,000
Piastra	12,89	14,48	-1531,513	0,000	0,000	14,768	0,000
Piastra	12,92	14,35	-1505,927	0,000	0,000	14,768	0,000
Piastra	12,97	14,23	-1474,846	0,000	0,000	14,768	0,000
Piastra	13,02	14,11	-1438,384	0,000	0,000	14,768	0,000
Piastra	13,07	13,99	-1396,673	0,000	0,000	14,768	0,000
Piastra	13,14	13,87	-1349,865	0,000	0,000	14,768	0,000
Piastra	13,21	13,76	-1298,132	0,000	0,000	14,768	0,000
Piastra	13,29	13,66	-1241,663	0,000	0,000	14,768	0,000
Piastra	13,37	13,56	-1180,662	0,000	0,000	14,768	0,000
Piastra	13,46	13,46	-1115,354	0,000	0,000	14,768	0,000
Piastra	13,56	13,37	-1045,975	0,000	0,000	14,768	0,000
Piastra	13,66	13,29	-972,781	0,000	0,000	14,768	0,000
Piastra	13,76	13,21	-896,036	0,000	0,000	14,768	0,000
Piastra	13,87	13,14	-816,022	0,000	0,000	14,768	0,000
Piastra	13,99	13,07	-733,030	0,000	0,000	14,768	0,000
Piastra	14,11	13,02	-647,364	0,000	0,000	14,768	0,000
Piastra	14,23	12,97	-559,335	0,000	0,000	14,768	0,000
Piastra	14,35	12,92	-469,266	0,000	0,000	14,768	0,000
Piastra	14,48	12,89	-377,484	0,000	0,000	14,768	0,000
Piastra	14,61	12,86	-284,325	0,000	0,000	14,768	0,000
Piastra	14,74	12,84	-190,128	0,000	0,000	14,768	0,000
Piastra	14,87	12,83	-95,238	0,000	0,000	14,768	0,000
Piastra	15,00	12,82	0,000	0,000	0,000	14,768	0,000
Piastra	15,13	12,83	95,238	0,000	0,000	14,768	0,000
Piastra	15,26	12,84	190,128	0,000	0,000	14,768	0,000
Piastra	15,39	12,86	284,325	0,000	0,000	14,768	0,000
Piastra	15,52	12,89	377,484	0,000	0,000	14,768	0,000
Piastra	15,65	12,92	469,266	0,000	0,000	14,768	0,000
Piastra	15,77	12,97	559,335	0,000	0,000	14,768	0,000
Piastra	15,89	13,02	647,364	0,000	0,000	14,768	0,000
Piastra	16,01	13,07	733,030	0,000	0,000	14,768	0,000
Piastra	16,13	13,14	816,022	0,000	0,000	14,768	0,000
Piastra	16,24	13,21	896,036	0,000	0,000	14,768	0,000
Piastra	16,34	13,29	972,781	0,000	0,000	14,768	0,000
Piastra	16,44	13,37	1045,975	0,000	0,000	14,768	0,000
Piastra	16,54	13,46	1115,354	0,000	0,000	14,768	0,000
Piastra	16,63	13,56	1180,662	0,000	0,000	14,768	0,000
Piastra	16,71	13,66	1241,663	0,000	0,000	14,768	0,000
Piastra	16,79	13,76	1298,132	0,000	0,000	14,768	0,000
Piastra	16,86	13,87	1349,865	0,000	0,000	14,768	0,000
Piastra	16,93	13,99	1396,673	0,000	0,000	14,768	0,000
Piastra	16,98	14,11	1438,384	0,000	0,000	14,768	0,000
Piastra	17,03	14,23	1474,846	0,000	0,000	14,768	0,000
Piastra	17,08	14,35	1505,975	0,000	0,000	14,768	0,000
Piastra	17,11	14,48	1531,513	0,000	0,000	14,768	0,000
Piastra	17,14	14,61	1551,511	0,000	0,000	14,768	0,000
Piastra	17,16	14,74	1565,848	0,000	0,000	14,768	0,000
Piastra	17,17	14,87	1574,471	0,000	0,000	14,768	0,000

Peso terreno gravante sulla fondazione

Oggetto	Pt [kN]
Piastra 1	14270

Normativa - Coefficienti di sicurezza

Coefficienti parziali per le azioni o per l'effetto delle azioni

CARICHI	EFFETTO	Coefficiente parziale	(A1) - STR
Permanenti	Sfavorevole	$\bar{\alpha}_{G1}$	1.30
Variabili	Sfavorevole	$\bar{\alpha}_{Q1}$	1.50
Permanenti	Favorevole	$\bar{\alpha}_{G1,fav}$	0.90

Coefficienti parziali per i parametri geotecnici del terreno

PARAMETRO	GRANDEZZA	Coefficiente parziale	(M1)
Tangente dell'angolo di resistenza al taglio	$\tan \beta'_k$	β'_k	1.00
Coesione efficace	c'_k	β'_c	1.00
Resistenza non drenata	c_{uk}	β_{cu}	1.00

Elenco combinazioni di calcolo

Numero combinazioni definite 4

Simbologia adottata

CP Coefficiente di partecipazione della condizione

Combinazione n° 1 - STR - A1-M1-R3

Condizione	CP
Peso proprio, Peso terreno sulla piastra	1.30
Permanenti torre	1.30
Estremi torre	1.50

Combinazione n° 2 - SLE Quasi permanente

Condizione	CP
Peso proprio, Peso terreno sulla piastra	1.00
Permanenti torre	1.00
Estremi torre	0.80

Combinazione n° 3 - SLE Frequente

Condizione	CP
Peso proprio, Peso terreno sulla piastra	1.00
Permanenti torre	1.00
Estremi torre	0.90

Combinazione n° 4 - SLE Rara

Condizione	CP
Peso proprio, Peso terreno sulla piastra	1.00
Permanenti torre	1.00
Estremi torre	1.00

Impostazioni di analisi

Portanza fondazione superficiale

Metodo calcolo portanza: Hansen

Criterio di media calcolo strato equivalente: Ponderata

Riduzione portanza per effetto eccentricità: Meyerhof

Fattore di rigidezza della sovrastruttura 0.00

6.6 DETTAGLI CALCOLO CAPACITA' PORTANTE

Simbologia adottata

Ic Indice combinazione

Nc, Nq, N \bar{q} coeff. di capacità portante

N'c, N'q, N' \bar{q} coeff. di capacità portante corretti (fattori di forma, di affondamento, ecc.)

Parametri strato equivalente terreno di progetto

H Altezza cuneo di rottura, espresso in [m]

γ Peso nell'unità di volume, espresso in [kN/m³]

β Angolo di attrito, espresso in [°]

c Coesione, espressa in [N/mmq]

n°	Oggetto	Nc	N'c	Nq	N'q	Zc [m]	Pp [kN]	Pl [kN]	A [kN]
1	Piastra 1	9.000	183.546	1.000	1.000	--	14554,99 14554,99	72771,85 72771,85	0,00
25	Piastra 1	9.000	183.546	1.000	1.000	--	14554,99 14554,99	72771,85 72771,85	0,00

Aerogeneratori A01,A02,A03,A04,A05,A08,A09

Ic	Nc	N'c	Nq	N'q	Np	Nt	H [m]	R [kN/mc]	R [°]	C [N/mmq]
1	42.16	41.11	29.44	27.90	28.77	18.09	19,98	25.0000	34.000	0,2000

Aerogeneratori A06 A07

Fattori correttivi portanza

Simbologia adottata

n° Indice combinazione

ic, iq, i β Fattori di inclinazione del carico

dc, dq, d β Fattori di profondità del piano di posa

gc, gq, g β Fattori di inclinazione del profilo topografico

bc, bq, b β Fattori di inclinazione del piano di posa

sc, sq, s β Fattori di forma della fondazione

pc, pq, p β Fattori di riduzione per punzonamento secondo Vesic

e β k, e β i Fattori di correzione secondo Cascone

r β Fattori per tener conto dell'effetto piastra. Per fondazioni che hanno larghezza maggiore di 2 m, il terzo termine della formula trinomia $0.5B^2N_a$ viene moltiplicato per questo fattore

In tabella sono indicati con il simbolo '--' i coefficienti non presenti nel metodo scelto (Hansen).

n°	ic iq β	dc dq β	gc gq β	bc bq β	sc sq β	pc pq β	e β k e β i	r β
1	0.890	1.065	1.000	1.000	--	--	--	0.743
	0.891	1.028	1.000	1.000	--	--	--	
	0.850	1.000	1.000	1.000	--	--	--	
5	0.845	1.065	1.000	1.000	--	--	--	0.743
	0.846	1.028	1.000	1.000	--	--	--	
	0.790	1.000	1.000	1.000	--	--	--	

7 PRINCIPALI VERIFICHE

7.1 VERIFICHE GEOTECNICHE

Carico limite

Simbologia adottata

Ic Indice combinazione

N Carico verticale trasmesso al terreno, espresso in [kN]

Np Carico verticale trasmesso ai pali, espresso in [kN]

Qu Portanza ultima, espressa in [kN]

Qup Portanza ultima dei pali, espressa in [kN]. Solo per fondazione mista

Qd Portanza di progetto ($(Qu+Qup)/\beta$), espressa in [kN]

Nt Carico totale verticale (N+Np), espresso in [kN]

Fs Fattore di sicurezza a carico limite (Pd/Nt)

Combinazione n° 1

n°	Oggetto	N [kN]	Pd [kN]	FSv	T [kN]	Td [kN]	FSo
1	Piastra 1	962,13	43084,11	44.780	64,16	93,42	1.456
25	Piastra 1	5925,30	43084,11	7.271	64,25	93,42	1.454

Aerogeneratori A01,A02,A03,A04,A05,A08,A09

Ic	N [kN]	Np [kN]	Qu [kN]	Qup [kN]	Qd [kN]	Nt [kN]	FS
1	32997,41	0,00	1757860,78	0,00	764287,29	0,00	23.162

Aerogeneratori A06 A07

Scorrimento

Simbologia adottata

T	Carico orizzontale trasferito al terreno, espresso in [kN]
Ru	Resistenza ultima allo scorrimento del terreno, espresso in [kN]
Rup	Resistenza ultima allo scorrimento dei pali, espresso in [kN]
Td	Resistenza allo scorrimento di progetto ((Ru+Rup)/β), espressa in [kN]
Tt	Carico orizzontale totale, espresso in [kN]
FS	Fattore di sicurezza allo scorrimento (rapporto tra Td/Tt)

Ic	T [kN]	Ru [kN]	Rup [kN]	Rd [kN]	Tt [kN]	FS
1	2303,82	58949,12	0,00	53590,11	2303,82	23.261

Aerogeneratori A06 A07

7.2 VERIFICHE STRUTTURALI

FONDAZIONI PROFONDE

Risultati Piastra

Risultati per combinazione

Spostamenti

Spostamenti massimi e minimi della piastra

Simbologia adottata

Ic	Indice della combinazione
w	Spostamento verticale, espresso in [mm]
u	Spostamento direzione X, espresso in [mm]
v	Spostamento direzione Y, espresso in [mm]
βx	Rotazione intorno all'asse X, espressa in [°]
βy	Rotazione intorno all'asse Y, espressa in [°]
p	Pressione sul terreno (solo per calcolo fondazione), espressa in [N/mmq]
kw	Costante di Winkler (solo per calcolo -fondazione), espressa in [kg/cm ² /cm]. Il valore viene stampato solo se si è utilizzato il modello di interazione

Tra parentesi l'indice del nodo in cui si sono misurati i valori massimi e minimi

Ic	w [mm]	u [mm]	v [mm]	βx [°]	βy [°]	p [N/mmq]
1	3,32039 (429) -0,56096 (116)	1,89395 (128) 1,78981 (588)	0,05366 (621) -0,05366 (161)	0,000515 (201) -0,000536 (568)	0,000377 (583) -0,000378 (314)	MAX MIN
2	2,13526 (377) -0,09881 (603)	1,01011 (128) 0,95457 (588)	0,02862 (621) -0,02862 (161)	0,000277 (218) -0,000335 (568)	0,000242 (583) -0,000243 (314)	MAX MIN
3	2,25075 (429) -0,17157 (92)	1,13637 (128) 1,07389 (588)	0,03219 (621) -0,03220 (161)	0,000311 (226) -0,000357 (568)	0,000256 (583) -0,000257 (314)	MAX MIN
4	2,37027 (429) -0,26951 (116)	1,26263 (128) 1,19321 (588)	0,03577 (621) -0,03577 (161)	0,000344 (338) -0,000378 (568)	0,000269 (583) -0,000270 (314)	MAX MIN

Sollecitazioni

Sollecitazioni massime e minime piastra

Simbologia adottata

Ic	Indice della combinazione
Mx	Momento X espresso in [kNm]
My	Momento Y espresso in [kNm]
Mxy	Momento XY espresso in [kNm]
Tx	Taglio X, espresso in [kN]
Ty	Taglio Y, espresso in [kN]
Nx	Tensione normale X expressa in [N/mmq]
<td>Tensione normale Y expressa in [N/mmq]</td>	Tensione normale Y expressa in [N/mmq]
Nxy	Tensione tangenziale XY expressa in [N/mmq]

Tra parentesi l'indice del nodo in cui si sono misurati i valori massimi e minimi

Ic	Mx [kNm]	My [kNm]	Mxy [kNm]	Tx [kN]	Ty [kN]	Nx [N/mmq]	Ny [N/mmq]	Nxy [N/mmq]
1	21404,56 (313) -14357,12 (205)	15327,66 (313) -8153,21 (205)	4946,82 (192) -4935,72 (381)	6176,54 (439) -11058,46 (238)	6176,54 (439) -11058,46 (183)	0,049 (371) -0,050 (159)	0,037 (101) -0,037 (603)	0,032 (381) -0,040 (192)
2	12247,99 (313) -6824,62 (205)	9020,06 (313) -3503,09 (205)	2639,25 (192) -2634,03 (381)	3417,88 (439) -5914,11 (238)	3417,88 (439) -5914,11 (183)	0,026 (371) -0,026 (159)	0,020 (101) -0,020 (603)	0,017 (381) -0,021 (192)
3	13439,77 (313) -8017,03 (205)	9803,01 (313) -4285,52 (205)	2968,77 (192) -2962,61 (381)	3794,68 (439) -6646,75 (238)	3794,68 (439) -6646,75 (183)	0,030 (371) -0,030 (159)	0,022 (101) -0,022 (603)	0,019 (381) -0,024 (192)
4	14631,54 (313) -9209,45 (205)	10585,96 (313) -5067,96 (205)	3298,29 (192) -3291,20 (381)	4171,49 (439) -7379,38 (238)	4171,49 (439) -7379,38 (183)	0,033 (371) -0,033 (159)	0,025 (101) -0,025 (603)	0,021 (381) -0,027 (192)

Verifiche strutturali

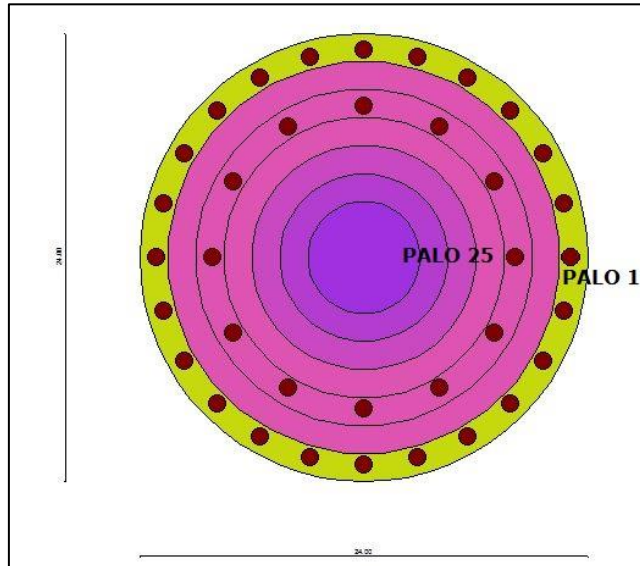
Verifica flessione piastra

Simbologia adottata

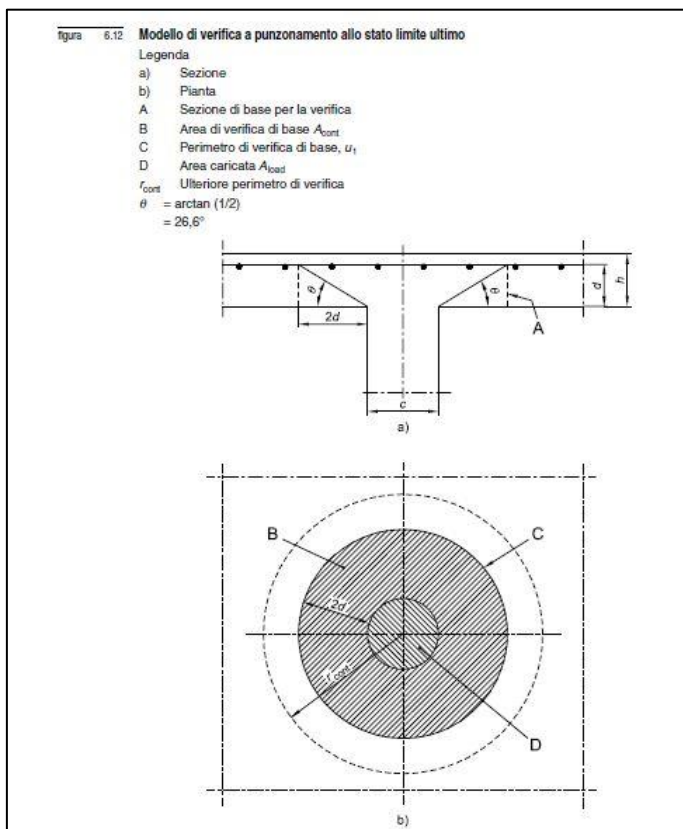
Is	Identificativo tratto-sezione-direzione (P: direzione principale, S: direzione secondaria)
Afi	Area di armatura lembo inferiore expressa in [mmq]
Afs	Area di armatura lembo superiore expressa in [mmq]
Mp	Momento positivo espresso in [kNm]
Np	Sforzo positivo negativo espresso in [kN]
Mn	Momento negativo espresso in [kNm]
Nn	Sforzo normale negativo espresso in [kN]
Mu	Momento ultimo espresso in [kNm]
Nu	Sforzo normale ultimo espresso in [kN]
FS	Fattore di sicurezza

Combinazione n° 1

Is	Afi [mmq]	Afs [mmq]	Mp [kNm]	Np [kN]	Mn [kNm]	Nn [kN]	Mu [kNm]	Nu [kN]	FS
1-35-P	12064	12064	39,64	-5,61	-0,10	-5,61	3569,13	-504,68	90,034
2-35-P	32170	39408	154,12	3,81	-10,07	3,81	11033,74	272,89	71,590
3-40-P	32170	32170	366,38	3,34	-8,97	3,34	14375,10	130,91	39,236
4-44-P	32170	41017	650,73	1,44	-5,54	1,44	17780,65	39,42	27,324
5-49-P	32170	34583	1098,03	8,59	-0,30	1,34	18674,17	146,17	17,007
6-53-P	32170	48255	1782,05	17,35	0,00	0,00	21366,08	208,01	11,990
7-57-P	32170	33778	2705,53	23,48	0,00	0,00	22984,71	199,51	8,495
8-56-P	32170	40212	4344,13	32,74	0,00	0,00	27338,54	206,04	6,293
9-58-P	32170	47451	6265,08	55,56	0,00	0,00	29163,77	258,64	4,655
10-57-P	32170	33778	9520,43	91,90	0,00	0,00	31671,26	305,73	3,327
11-55-P	32170	61123	16082,48	115,61	0,00	0,00	43811,56	314,93	2,724
12-56-P	32170	64340	20246,11	94,73	0,00	0,00	43642,41	204,19	2,156
13-56-P	32170	64340	20308,65	89,39	0,00	0,00	43621,98	192,00	2,148
14-55-P	32170	61123	16035,38	95,99	0,00	0,00	43722,55	261,73	2,727
15-57-P	32170	33778	9512,81	77,09	0,00	0,00	31611,92	256,19	3,323



sui perimetri indicati in Eurocodice 2 UNI-EN 1992-1-1.



Nel caso in questione per il PUNZONAMENTO DEI PALI SULLA PIASTRA la verifica condotta sul perimetro di confine fra le zone di influenza dei pali posti ad interasse pari a 3 diametri fornisce:

PALO 25

CALCOLO DEL TAGLIO-PUNZONAMENTO AGENTE

$d_{ut}=1750$ mm (in corrispondenza del palo 25)

$$u= \frac{\pi}{4} * (1000+2d_{ut}+2d_{ut}) = \frac{\pi}{4} * 8000 = 25120 \text{ mm}$$

$$e=153/4500=0,034 \text{ mt}=34 \text{ mm}$$

$$\beta = 1 + 0.6 \frac{\rho_i e}{(D+4 d_{ut})} = 1.00$$

$$N_{ED} = 4500000 \text{ N (PALO 25)}$$

$$V_{ED} = \beta N_{ED} / (u d_{ut}) = 0.102 \text{ N/mm}^2$$

CALCOLO DEL TAGLIO-PUNZONAMENTO RESISTENTE

$$V_{rd,c} = C_{rd,c} k (100 \rho_i f_{ck})^{1/3} = (0,18 / 1,5) * 1.35 * (100 * 0.003 * 35)^{1/3} = 0,35 \text{ N/mm}^2$$

$$V_{rd,c} > \beta_{min} = 0.035 k^{3/2} f_{ck}^{1/2} = 0.33$$

$$k = 1 + \sqrt{200/d} = 1.35$$

$$C_{rd,c} = 0.18 / \beta_c = 0.12$$

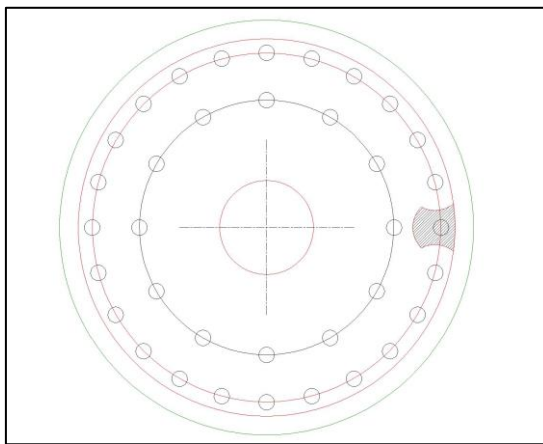
$$\rho_i = \sqrt{\rho_{iy} \rho_{iz}} = 3.0 * 10^{-3} < 0.02 \text{ (percentuale di armatura tesa)}$$

Sussiste dunque la disuguaglianza Ved $< V_{rd,c} \Rightarrow$ FATTORE DI SICUREZZA = $0.35 / 0.102 = 3.43$

PALO 1

CALCOLO DEL TAGLIO-PUNZONAMENTO AGENTE

$$d_{ut} = 1055 \text{ mm (in corrispondenza del palo 1)}$$



$u = 7300 \text{ mm}$ (considerando il perimetro di verifica in figura per tener conto delle mutue influenze)

$$e = 153 / 2250 = 0,068 \text{ mt} = 68 \text{ mm}$$

$$\beta = 1 + 0.6 \frac{\rho_i e}{(D+4 d_{ut})} = 1.02$$

$$N_{ED} = 2250 \text{ N (PALO 1)}$$

$$V_{ED} = \beta N_{ED} / (u d_{ut}) = 0.30 \text{ N/mm}^2$$

CALCOLO DEL TAGLIO-PUNZONAMENTO RESISTENTE

$$V_{rd,c} = C_{rd,c} k (100 \rho_i f_{ck})^{1/3} = (0,18 / 1,5) * 1.35 * (100 * 0.003 * 35)^{1/3} = 0,35 \text{ N/mm}^2$$

$$V_{rd,c} > \beta_{min} = 0.035 k^{3/2} f_{ck}^{1/2} = 0.33$$

$$k = 1 + \sqrt{200/d} = 1.35$$

$$C_{rd,c} = 0.18 / \beta_c = 0.12$$

$$\rho_i = \sqrt{\rho_{iy} \rho_{iz}} = 3.0 * 10^{-3} < 0.02 \text{ (percentuale di armatura tesa)}$$

Sussiste dunque la disuguaglianza Ved $< V_{rd,c} \Rightarrow$ FATTORE DI SICUREZZA = $0.35 / 0.30 = 1.17$

Pali

Numero pali	36
Somma portanza laterale	2619786,7 [kN]
Portanza laterale del gruppo	1836384,0 [kN]
Efficienza palificata	0,70
Somma portanza di punta	523979,8 [kN]
Somma portanze totali	2360363,8 [kN]
Somma portanza trasversale	4634,6 [kN]

Simbologia adottata

N _p	Identificativo del palo
D	diametro espresso in [mm]
L	lunghezza espressa in [m]
N	sforzo normale espresso in [kN]
T _x , T _y	taglio in fase di esercizio (direzione X ed Y) espresso in [kN]
T	risultante taglio espresso in [kN]
T _u	Taglio ultimo espresso in [kN]
M _x , M _y	momento in fase di esercizio (direzione X ed Y) espresso in [kNm]
M _u	Momento ultimo espresso in [kNm]
Musez	Momento ultimo della sezione espresso in [kNm]
A _r	Area di armatura espressa in [mmq]
N _c , N _q	fattori di capacità portante
N' _c , N' _q	fattori di capacità portante corretti
P _l _{med} , P _l _{min}	portanza per attrito e aderenza laterale in [kN]
P _p _{med} , P _p _{min}	portanza di punta in [kN]
P _d	portanza di progetto in [kN]
A _{neg}	Attrito negativo in [kN]
u	spostamento orizzontale in esercizio espresso in [mm]
u _r	spostamento orizzontale limite espresso in [mm]
p	pressione in esercizio espressa in [N/mmq]
p _r	pressione limite espressa in [N/mmq]
w	cedimento in testa espresso in [mm]

Risultati per combinazione

Spostamenti e pressioni

Simbologia adottata

I _n	Indice sezione
Y	ordinata palo espressa in [m]
U _r	spostamento limite espresso in [mm]
P _r	pressione limite espressa in [N/mmq]
U _e	spostamento in esercizio espresso in [mm]
P _e	pressione in esercizio espressa in [N/mmq]

Combinazione n° 1

Palo n° 1

n°	Y [m]	Ue [mm]	Ur [mm]	Pe [N/mmq]	Pr [N/mmq]
1	0,00	1,855	3,514	0,0000	0,0000
11	2,50	1,511	2,860	0,0000	0,0000
21	5,00	0,889	1,683	0,0131	0,0248
31	7,50	0,377	0,714	0,0055	0,0105
41	10,00	0,075	0,142	0,0011	0,0021
51	12,50	-0,053	-0,101	-0,0008	-0,0015
61	15,00	-0,080	-0,152	-0,0012	-0,0022
71	17,50	-0,063	-0,118	-0,0009	-0,0017
81	20,00	-0,034	-0,064	-0,0005	-0,0009
91	22,50	-0,006	-0,012	-0,0001	-0,0002
101	25,00	0,020	0,038	0,0003	0,0006

Palo n° 25

n°	Y [m]	Ue [mm]	Ur [mm]	Pe [N/mmq]	Pr [N/mmq]
1	0,00	1,857	3,514	0,0000	0,0000
11	2,50	1,513	2,860	0,0000	0,0000
21	5,00	0,890	1,683	0,0131	0,0248
31	7,50	0,378	0,714	0,0056	0,0105
41	10,00	0,075	0,142	0,0011	0,0021
51	12,50	-0,053	-0,101	-0,0008	-0,0015
61	15,00	-0,080	-0,152	-0,0012	-0,0022
71	17,50	-0,063	-0,118	-0,0009	-0,0017
81	20,00	-0,034	-0,064	-0,0005	-0,0009
91	22,50	-0,006	-0,012	-0,0001	-0,0002
101	25,00	0,020	0,038	0,0003	0,0006

Combinazione n° 2

Palo n° 1

n°	Y [m]	Ue [mm]	Ur [mm]	Pe [N/mmq]	Pr [N/mmq]
1	0,00	0,989	3,514	0,0000	0,0000
11	2,50	0,806	2,860	0,0000	0,0000
21	5,00	0,474	1,683	0,0070	0,0248
31	7,50	0,201	0,714	0,0030	0,0105
41	10,00	0,040	0,142	0,0006	0,0021
51	12,50	-0,028	-0,101	-0,0004	-0,0015
61	15,00	-0,043	-0,152	-0,0006	-0,0022
71	17,50	-0,033	-0,118	-0,0005	-0,0017
81	20,00	-0,018	-0,064	-0,0003	-0,0009
91	22,50	-0,003	-0,012	0,0000	-0,0002
101	25,00	0,011	0,038	0,0002	0,0006

Palo n° 25

n°	Y [m]	Ue [mm]	Ur [mm]	Pe [N/mmq]	Pr [N/mmq]
1	0,00	0,991	3,514	0,0000	0,0000
11	2,50	0,807	2,860	0,0000	0,0000
21	5,00	0,475	1,683	0,0070	0,0248
31	7,50	0,201	0,714	0,0030	0,0105
41	10,00	0,040	0,142	0,0006	0,0021
51	12,50	-0,028	-0,101	-0,0004	-0,0015
61	15,00	-0,043	-0,152	-0,0006	-0,0022
71	17,50	-0,033	-0,118	-0,0005	-0,0017
81	20,00	-0,018	-0,064	-0,0003	-0,0009
91	22,50	-0,003	-0,012	0,0000	-0,0002
101	25,00	0,011	0,038	0,0002	0,0006

Combinazione n° 3

Palo n° 1

n°	Y [m]	Ue [mm]	Ur [mm]	Pe [N/mmq]	Pr [N/mmq]
1	0,00	1,113	3,514	0,0000	0,0000
11	2,50	0,906	2,860	0,0000	0,0000

n°	Y [m]	Ue [mm]	Ur [mm]	Pe [N/mmq]	Pr [N/mmq]
21	5,00	0,533	1,683	0,0078	0,0248
31	7,50	0,226	0,714	0,0033	0,0105
41	10,00	0,045	0,142	0,0007	0,0021
51	12,50	-0,032	-0,101	-0,0005	-0,0015
61	15,00	-0,048	-0,152	-0,0007	-0,0022
71	17,50	-0,038	-0,118	-0,0006	-0,0017
81	20,00	-0,020	-0,064	-0,0003	-0,0009
91	22,50	-0,004	-0,012	-0,0001	-0,0002
101	25,00	0,012	0,038	0,0002	0,0006

Palo n° 25

n°	Y [m]	Ue [mm]	Ur [mm]	Pe [N/mmq]	Pr [N/mmq]
1	0,00	1,114	3,514	0,0000	0,0000
11	2,50	0,908	2,860	0,0000	0,0000
21	5,00	0,534	1,683	0,0079	0,0248
31	7,50	0,227	0,714	0,0033	0,0105
41	10,00	0,045	0,142	0,0007	0,0021
51	12,50	-0,032	-0,101	-0,0005	-0,0015
61	15,00	-0,048	-0,152	-0,0007	-0,0022
71	17,50	-0,038	-0,118	-0,0006	-0,0017
81	20,00	-0,020	-0,064	-0,0003	-0,0009
91	22,50	-0,004	-0,012	-0,0001	-0,0002
101	25,00	0,012	0,038	0,0002	0,0006

Combinazione n° 4

Palo n° 1

n°	Y [m]	Ue [mm]	Ur [mm]	Pe [N/mmq]	Pr [N/mmq]
1	0,00	1,236	3,514	0,0000	0,0000
11	2,50	1,007	2,860	0,0000	0,0000
21	5,00	0,593	1,683	0,0087	0,0248
31	7,50	0,251	0,714	0,0037	0,0105
41	10,00	0,050	0,142	0,0007	0,0021
51	12,50	-0,036	-0,101	-0,0005	-0,0015
61	15,00	-0,053	-0,152	-0,0008	-0,0022
71	17,50	-0,042	-0,118	-0,0006	-0,0017
81	20,00	-0,023	-0,064	-0,0003	-0,0009
91	22,50	-0,004	-0,012	-0,0001	-0,0002
101	25,00	0,013	0,038	0,0002	0,0006

Palo n° 25

n°	Y [m]	Ue [mm]	Ur [mm]	Pe [N/mmq]	Pr [N/mmq]
1	0,00	1,238	3,514	0,0000	0,0000
11	2,50	1,008	2,860	0,0000	0,0000
21	5,00	0,594	1,683	0,0087	0,0248
31	7,50	0,252	0,714	0,0037	0,0105
41	10,00	0,050	0,142	0,0007	0,0021
51	12,50	-0,036	-0,101	-0,0005	-0,0015
61	15,00	-0,053	-0,152	-0,0008	-0,0022
71	17,50	-0,042	-0,118	-0,0006	-0,0017
81	20,00	-0,023	-0,064	-0,0003	-0,0009
91	22,50	-0,004	-0,012	-0,0001	-0,0002
101	25,00	0,013	0,038	0,0002	0,0006

Sollecitazioni

Simbologia adottata

n°	Identificativo sezione
Y	ordinata della sezione a partire dalla testa positiva verso il basso, espresso in [m]
Nr	sforzo normale a rottura, espresso in [kN]
Ne	sforzo normale in esercizio, espresso in [kN]
Tr	taglio a rottura, espresso in [kN]
Te	taglio in esercizio, espresso in [kN]
Mr	momento a rottura, espresso in [kNm]
Me	momento in esercizio, espresso in [kNm]

Combinazione n° 1

Palo n° 1

n°	Y [m]	Ne [kN]	Nr [kN]	Te [kN]	Tr [kN]	Me [kNm]	Mr [kNm]
1	0,0	962,13	87047,29	64,16	121,45	232,90	440,68
11	25,0	973,91	84848,17	64,16	121,45	72,49	137,06
21	50,0	894,10	76994,19	21,12	39,96	-34,72	-65,86
31	75,0	812,41	69140,20	-0,61	-1,18	-59,26	-112,25
41	100,0	730,72	61286,22	-7,76	-14,70	-47,48	-89,91
51	125,0	649,03	53432,23	-7,51	-14,22	-27,46	-51,98
61	150,0	567,35	45578,25	-4,80	-9,08	-11,57	-21,90
71	175,0	485,66	37724,26	-2,14	-4,04	-2,72	-5,13
81	200,0	403,97	29870,28	-0,41	-0,78	0,46	0,88
91	225,0	322,28	22016,29	0,27	0,50	0,52	0,99
101	250,0	240,59	14947,70	0,04	0,07	0,00	0,00

Palo n° 25

n°	Y [m]	Ne [kN]	Nr [kN]	Te [kN]	Tr [kN]	Me [kNm]	Mr [kNm]
1	0,0	5925,30	87047,29	64,25	121,45	233,23	440,68
11	25,0	5812,11	84848,17	64,25	121,45	72,60	137,06
21	50,0	5292,34	76994,19	21,15	39,96	-34,77	-65,86
31	75,0	4764,27	69140,20	-0,61	-1,18	-59,35	-112,25
41	100,0	4236,21	61286,22	-7,77	-14,70	-47,55	-89,91
51	125,0	3708,14	53432,23	-7,52	-14,22	-27,50	-51,98
61	150,0	3180,08	45578,25	-4,80	-9,08	-11,59	-21,90
71	175,0	2652,01	37724,26	-2,14	-4,04	-2,72	-5,13
81	200,0	2123,95	29870,28	-0,41	-0,78	0,46	0,88
91	225,0	1595,89	22016,29	0,27	0,50	0,52	0,99
101	250,0	1067,82	14947,70	0,04	0,07	0,00	0,00

Combinazione n° 2

Palo n° 1

n°	Y [m]	Ne [kN]	Nr [kN]	Te [kN]	Tr [kN]	Me [kNm]	Mr [kNm]
1	0,0	575,83	87047,29	34,22	121,45	124,21	440,68
11	25,0	597,35	84848,17	34,22	121,45	38,66	137,06
21	50,0	551,77	76994,19	11,27	39,96	-18,52	-65,86
31	75,0	504,82	69140,20	-0,33	-1,18	-31,61	-112,25
41	100,0	457,88	61286,22	-4,14	-14,70	-25,33	-89,91
51	125,0	410,93	53432,23	-4,00	-14,22	-14,64	-51,98
61	150,0	363,99	45578,25	-2,56	-9,08	-6,17	-21,90
71	175,0	317,04	37724,26	-1,14	-4,04	-1,45	-5,13
81	200,0	270,10	29870,28	-0,22	-0,78	0,25	0,88
91	225,0	223,15	22016,29	0,14	0,50	0,28	0,99
101	250,0	176,21	14947,70	0,02	0,07	0,00	0,00

Palo n° 25

n°	Y [m]	Ne [kN]	Nr [kN]	Te [kN]	Tr [kN]	Me [kNm]	Mr [kNm]
1	0,0	3679,84	87047,29	34,27	121,45	124,39	440,68
11	25,0	3623,19	84848,17	34,27	121,45	38,72	137,06
21	50,0	3302,47	76994,19	11,28	39,96	-18,55	-65,86
31	75,0	2976,35	69140,20	-0,33	-1,18	-31,65	-112,25
41	100,0	2650,24	61286,22	-4,14	-14,70	-25,36	-89,91
51	125,0	2324,13	53432,23	-4,01	-14,22	-14,67	-51,98
61	150,0	1998,02	45578,25	-2,56	-9,08	-6,18	-21,90
71	175,0	1671,90	37724,26	-1,14	-4,04	-1,45	-5,13
81	200,0	1345,79	29870,28	-0,22	-0,78	0,25	0,88
91	225,0	1019,68	22016,29	0,14	0,50	0,28	0,99
101	250,0	693,56	14947,70	0,02	0,07	0,00	0,00

Combinazione n° 3

Palo n° 1

n°	Y [m]	Ne [kN]	Nr [kN]	Te [kN]	Tr [kN]	Me [kNm]	Mr [kNm]
1	0,0	622,25	87047,29	38,50	121,45	139,74	440,68
11	25,0	642,60	84848,17	38,50	121,45	43,50	137,06
21	50,0	592,91	76994,19	12,67	39,96	-20,83	-65,86
31	75,0	541,79	69140,20	-0,37	-1,18	-35,56	-112,25
41	100,0	490,67	61286,22	-4,65	-14,70	-28,49	-89,91
51	125,0	439,55	53432,23	-4,50	-14,22	-16,47	-51,98
61	150,0	388,43	45578,25	-2,88	-9,08	-6,94	-21,90
71	175,0	337,31	37724,26	-1,28	-4,04	-1,63	-5,13
81	200,0	286,19	29870,28	-0,25	-0,78	0,28	0,88
91	225,0	235,07	22016,29	0,16	0,50	0,31	0,99
101	250,0	183,95	14947,70	0,02	0,07	0,00	0,00

Palo n° 25

n°	Y [m]	Ne [kN]	Nr [kN]	Te [kN]	Tr [kN]	Me [kNm]	Mr [kNm]
1	0,0	3928,00	87047,29	38,55	121,45	139,94	440,68
11	25,0	3865,10	84848,17	38,55	121,45	43,56	137,06
21	50,0	3522,38	76994,19	12,69	39,96	-20,86	-65,86
31	75,0	3173,94	69140,20	-0,37	-1,18	-35,61	-112,25
41	100,0	2825,51	61286,22	-4,66	-14,70	-28,53	-89,91
51	125,0	2477,08	53432,23	-4,51	-14,22	-16,50	-51,98
61	150,0	2128,65	45578,25	-2,88	-9,08	-6,95	-21,90
71	175,0	1780,22	37724,26	-1,28	-4,04	-1,63	-5,13
81	200,0	1431,79	29870,28	-0,25	-0,78	0,28	0,88
91	225,0	1083,36	22016,29	0,16	0,50	0,31	0,99
101	250,0	734,92	14947,70	0,02	0,07	0,00	0,00

Combinazione n° 4

Palo n° 1

n°	Y [m]	Ne [kN]	Nr [kN]	Te [kN]	Tr [kN]	Me [kNm]	Mr [kNm]
1	0,0	668,68	87047,29	42,77	121,45	155,26	440,68
11	25,0	687,85	84848,17	42,77	121,45	48,33	137,06
21	50,0	634,05	76994,19	14,08	39,96	-23,15	-65,86
31	75,0	578,75	69140,20	-0,41	-1,18	-39,51	-112,25
41	100,0	523,46	61286,22	-5,17	-14,70	-31,66	-89,91
51	125,0	468,16	53432,23	-5,00	-14,22	-18,31	-51,98
61	150,0	412,87	45578,25	-3,20	-9,08	-7,71	-21,90
71	175,0	357,57	37724,26	-1,42	-4,04	-1,81	-5,13
81	200,0	302,28	29870,28	-0,27	-0,78	0,31	0,88
91	225,0	246,98	22016,29	0,18	0,50	0,35	0,99
101	250,0	191,68	14947,70	0,02	0,07	0,00	0,00

Palo n° 25

n°	Y [m]	Ne [kN]	Nr [kN]	Te [kN]	Tr [kN]	Me [kNm]	Mr [kNm]
1	0,0	4176,15	87047,29	42,84	121,45	155,49	440,68
11	25,0	4107,00	84848,17	42,84	121,45	48,40	137,06
21	50,0	3742,28	76994,19	14,10	39,96	-23,18	-65,86
31	75,0	3371,53	69140,20	-0,41	-1,18	-39,56	-112,25
41	100,0	3000,78	61286,22	-5,18	-14,70	-31,70	-89,91
51	125,0	2630,03	53432,23	-5,01	-14,22	-18,33	-51,98
61	150,0	2259,28	45578,25	-3,20	-9,08	-7,72	-21,90
71	175,0	1888,53	37724,26	-1,43	-4,04	-1,81	-5,13
81	200,0	1517,78	29870,28	-0,27	-0,78	0,31	0,88
91	225,0	1147,03	22016,29	0,18	0,50	0,35	0,99
101	250,0	776,28	14947,70	0,02	0,07	0,00	0,00

Scarichi in testa ai pali

Combinazione n° 1

n°	N [kN]	Mx [kNm]	My [kNm]	Tx [kN]	Ty [kN]

n°	N [kN]	M _x [kNm]	M _y [kNm]	T _x [kN]	T _y [kN]
1	962,13	-232,82	6,05	64,14	1,67
25	5925,30	-233,19	4,43	64,24	1,22

Combinazione n° 2

n°	N [kN]	M _x [kNm]	M _y [kNm]	T _x [kN]	T _y [kN]
1	575,83	-124,17	3,23	34,21	0,89
25	3679,84	-124,37	2,36	34,26	0,65

Combinazione n° 3

n°	N [kN]	M _x [kNm]	M _y [kNm]	T _x [kN]	T _y [kN]
1	622,25	-139,69	3,63	38,48	1,00
25	3928,00	-139,91	2,66	38,54	0,73

Combinazione n° 4

n°	N [kN]	M _x [kNm]	M _y [kNm]	T _x [kN]	T _y [kN]
1	668,68	-155,21	4,03	42,76	1,11
25	4176,15	-155,46	2,95	42,83	0,81

Verifiche strutturali pali

Verifica flessione

Pali in c.a.

Simbologia adottata

Y	ordinata della sezione a partire dalla testa positiva verso il basso, espresso in [m]
M _u	Momento ultimo, espresso in [kNm]
N _u	Sforzo normale, espresso in [kN]
M	Momento agente, espresso in [kNm]
N	Sforzo normale agente, espresso in [kN]
FS	Fattore di sicurezza

Combinazione n° 1

Palo n° 1

Y [m]	A _f [mmq]	M [kNm]	N [kN]	M _u [kNm]	N _u [kN]	FS
0,00	2714	232,90	962,13	1907,72	7881,03	8.191
2,50	2714	72,49	973,91	1054,69	14169,17	14.549
5,00	2714	-34,72	894,10	554,41	14275,21	15.966
7,50	2714	-59,26	812,41	1038,38	14235,22	17.522
10,00	2714	-47,48	730,72	927,65	14275,21	19.536
12,50	2714	-27,46	649,03	603,92	14275,21	21.995
15,00	2714	-11,57	567,35	291,11	14275,21	25.161
17,50	2714	-2,72	485,66	79,82	14275,21	29.394
20,00	2714	0,46	403,97	16,37	14275,21	35.337
22,50	2714	0,52	322,28	23,03	14275,21	44.294
25,00	2714	0,00	240,59	0,00	14275,21	59.333

Palo n° 25

Y [m]	A_f [mmq]	M [kNm]	N [kN]	M_u [kNm]	N_u [kN]	FS
0,00	2714	233,23	5925,30	561,90	14275,21	2,409
2,50	2714	72,60	5812,11	178,31	14275,21	2,456
5,00	2714	-34,77	5292,34	93,80	14275,21	2,697
7,50	2714	-59,35	4764,27	177,82	14275,21	2,996
10,00	2714	-47,55	4236,21	160,24	14275,21	3,370
12,50	2714	-27,50	3708,14	105,86	14275,21	3,850
15,00	2714	-11,59	3180,08	52,01	14275,21	4,489
17,50	2714	-2,72	2652,01	14,64	14275,21	5,383
20,00	2714	0,46	2123,95	3,12	14275,21	6,721
22,50	2714	0,52	1595,89	4,66	14275,21	8,945
25,00	2714	0,00	1067,82	0,00	14275,21	13,369

Verifica taglio

Pali in c.a.

Simbologia adottata

Y	ordinata della sezione a partire dalla testa positiva verso il basso (in [m])
V _{Rcd}	Taglio resistente a compressione, espresso in [kN]
V _{Rsd}	Taglio resistente a trazione, espresso in [kN]
V _{Rd}	Taglio resistente, espresso in [kN]
T	Taglio agente, espresso in [kN]
FS	Fattore di sicurezza (VRd/T)

Combinazione n° 1

Palo n° 1

Y [m]	V_{Rcd} [kN]	V_{Rsd} [kN]	V_{Rd} [kN]	T [kN]	FS
0,00	1665,77	709,97	709,97	64,16	11.065
2,50	1667,46	709,97	709,97	64,16	11.065
5,00	1655,96	709,97	709,97	21,12	33.610
7,50	1644,18	709,97	709,97	-0,61	1156,214
10,00	1632,40	709,97	709,97	-7,76	91.524
12,50	1620,62	709,97	709,97	-7,51	94,571
15,00	1608,84	709,97	709,97	-4,80	148.006
17,50	1597,06	709,97	709,97	-2,14	332.315
20,00	1585,28	709,97	709,97	-0,41	1730,356
22,50	1573,50	709,97	709,97	0,27	2676,516
25,00	1561,72	709,97	709,97	0,04	19482,862

Palo n° 25

Y [m]	V_{Rcd} [kN]	V_{Rsd} [kN]	V_{Rd} [kN]	T [kN]	FS
0,00	1681,50	709,97	709,97	64,25	11.050
2,50	1722,30	709,97	709,97	64,25	11.050
5,00	1908,78	709,97	709,97	21,15	33.562
7,50	1908,78	709,97	709,97	-0,61	1154,563
10,00	1908,78	709,97	709,97	-7,77	91,393
12,50	1908,78	709,97	709,97	-7,52	94,436
15,00	1908,78	709,97	709,97	-4,80	147,795
17,50	1908,78	709,97	709,97	-2,14	331,841
20,00	1833,30	709,97	709,97	-0,41	1727,885
22,50	1757,15	709,97	709,97	0,27	2672,694
25,00	1681,01	709,97	709,97	0,04	19455,042

Verifiche geotecniche

Carico limite

Simbologia adottata

n°	Indice palo
Oggetto	Oggetto di appartenenza del palo (Piastra, Plinto o Trave)
N	Carico verticale agente alla testa del palo, espresso in [kN]
Pd	Portanza di progetto, espresso in [kN]
FS _v	Fattore di sicurezza (Pd/N)
T	Carico orizzontale agente alla testa del palo, espresso in [kN]

Td Portanza trasversale di progetto, espresso in [kN]

FS_o Fattore di sicurezza (Vd/V)

Combinazione n° 1

n°	Oggetto	N [kN]	Pd [kN]	FSv	T [kN]	Td [kN]	FS _o
1	Piastra 1	962,13	43084,11	44.780	64,16	93,42	1.456
25	Piastra 1	5925,30	43084,11	7.271	64,25	93,42	1.454

Dettagli calcolo portanza verticale

Simbologia adottata

n° Indice palo

Oggetto Oggetto di appartenenza del palo (Piastra, Plinto o Trave)

Nc, Nq Coeff. di capacità portante

N'c, N'q Coeff. di capacità portante corretti

Zc Profondità andamento pressione geostatica, espresso in [m]

Pp, Pl Portanza di punta e laterale caratteristica, espresse in [kN]

A Attrito negativo, espresso in [kN]

n°	Oggetto	Nc	Nq	N'q	Zc [m]	Pp [kN]	Pl [kN]	A [kN]
1	Piastra 1	9.000	1.000	1.000	--	14554,99 14554,99	72771,85 72771,85	0,00
25	Piastra 1	9.000	1.000	1.000	--	14554,99 14554,99	72771,85 72771,85	0,00

Armature

Pali circolari in c.a.

Ip Indice palo

Tratto Indice tratto

Ys, Yi Quota superiore e inferiore ferro, espresso in [m]

Lf Lunghezza ferro, espresso in [m]

Al Armatura longitudinale, numero e diametro espresso in [mm]

At Armatura trasversale, diametro espresso in [mm] e passo espresso in [mm]

Ip	Tratto	Ys [m]	Yi [m]	Lf [m]	Al [mm]	At [mm]/[mm]
1	1	0,72	-24,95	25,67	6 - ②24	①10 / 128
25	1	0,72	-24,95	25,67	6 - ②24	①10 / 128

FONDAZIONI SUPERFICIALI DIRETTE

Risultati per combinazione

Sollecitazioni

Piastra

Sollecitazioni massime e minime piastra

Simbologia adottata

Ic Indice della combinazione

Mx Momento X espresso in [kNm]

My Momento Y espresso in [kNm]

Mxy Momento XY espresso in [kNm]

Tx Taglio X, espresso in [kN]

Ty Taglio Y, espresso in [kN]

Nx Tensione normale X espressa in [N/mm²]
 Ny Tensione normale Y espressa in [N/mm²]
 Nxy Tensione tangenziale XY espressa in [N/mm²]

Tra parentesi l'indice del nodo in cui si sono misurati i valori massimi e minimi

Ic	Mx [kNm]	My [kNm]	Mxy [kNm]	Tx [kN]	Ty [kN]	Nx [N/mm ²]	Nxy [N/mm ²]		
1	27489,04 (346) -10827,70 (224)	10038,01 (294) -10875,20 (247)	4584,93 (198) -4579,73 (302)			0,046 (344) -0,046 (172)	0,021 (112) -0,021 (563)	0,033 (374) -0,033 (176)	MAX MIN
2	12124,92 (346) -6616,75 (224)	5707,60 (294) -5295,98 (247)	2541,80 (198) -2538,82 (302)			0,024 (344) -0,024 (172)	0,011 (112) -0,011 (563)	0,017 (374) -0,018 (176)	MAX MIN
3	14622,93 (346) -7108,15 (224)	6289,23 (294) -6178,23 (247)	2832,04 (198) -2828,79 (302)			0,027 (344) -0,028 (172)	0,013 (112) -0,013 (563)	0,020 (374) -0,020 (176)	MAX MIN
4	17173,18 (346) -7593,52 (224)	6879,58 (294) -7034,86 (247)	3115,08 (198) -3111,51 (302)			0,031 (344) -0,031 (172)	0,014 (112) -0,014 (563)	0,022 (374) -0,022 (176)	MAX MIN

Verifiche strutturali

Verifica flessione

Piastra

Simbologia adottata

Is	Identificativo tratto-sezione-direzione (P: direzione principale, S: direzione secondaria)
Afi	Area di armatura lembo inferiore espressa in [mm ²]
Afs	Area di armatura lembo superiore espressa in [mm ²]
Mp	Momento positivo espresso in [kNm]
Np	Sforzo positivo negativo espresso in [kN]
Mn	Momento negativo espresso in [kNm]
Nn	Sforzo normale negativo espresso in [kN]
Mu	Momento ultimo espresso in [kNm]
Nu	Sforzo normale ultimo espresso in [kN]
FS	Fattore di sicurezza

Combinazione n° 1

Is	Afi [mm ²]	Afs [mm ²]	Mp [kNm]	Np [kN]	Mn [kNm]	Nn [kN]	Mu [kNm]	Nu [kN]	FS
1-37-P	6434	3217	73,72	-0,98	-0,01	-0,98	1877,26	-25,06	25.466
2-39-P	32170	17693	455,04	-2,87	-0,51	-2,87	9562,97	-60,25	21.016
3-40-P	32170	16085	845,28	-1,70	-2,62	-1,70	13714,30	-27,51	16.225
4-50-P	32170	20910	1363,03	-1,01	-1,51	-1,01	14964,56	-11,05	10.979
5-50-P	32170	16085	2077,17	1,52	-3,32	1,52	18024,51	13,20	8.677
6-60-P	32170	16889	2718,45	6,45	0,00	0,00	18114,00	42,98	6.663
7-57-P	32170	16889	4376,68	12,27	0,00	0,00	22415,75	62,85	5.122
8-56-P	32170	20106	6263,36	22,57	0,00	0,00	26877,79	96,83	4.291
9-60-P	32170	16085	8278,50	41,45	0,00	0,00	26683,43	133,59	3.223
10-56-P	32170	17693	12968,98	81,74	0,00	0,00	32209,82	203,00	2.484
11-60-P	32170	16085	15711,38	102,48	0,00	0,00	31013,66	202,30	1.974
12-60-P	32170	16085	19059,59	117,49	0,00	0,00	31002,68	191,12	1.627
13-60-P	32170	16085	19128,69	117,47	0,00	0,00	31001,96	190,38	1.621
14-59-P	32170	19302	16947,73	113,59	0,00	0,00	33418,47	223,98	1.972
15-56-P	32170	17693	12955,12	81,61	0,00	0,00	32209,71	202,90	2.486
16-60-P	32170	16085	8296,29	41,49	0,00	0,00	26683,32	133,45	3.216
17-56-P	32170	20106	6272,43	22,52	0,00	0,00	26877,50	96,51	4.285
18-57-P	32170	16889	4384,36	12,22	0,00	0,00	22415,51	62,49	5.113
19-60-P	32170	16889	2721,26	6,43	0,00	0,00	18113,90	42,78	6.656
20-50-P	32170	16085	2082,81	1,51	-3,30	1,51	18024,43	13,03	8.654
21-50-P	32170	20910	1364,72	-1,02	-1,51	-1,02	14964,52	-11,15	10.965
22-40-P	32170	16085	846,33	-1,70	-2,63	-1,70	13714,28	-27,57	16.204
23-39-P	32170	17693	455,73	-2,87	-0,51	-2,87	9562,98	-60,20	20.984
24-37-P	6434	3217	73,84	-0,98	-0,02	-0,98	1877,27	-25,02	25.425
25-20-S	12315	12315	0,00	3,79	-88,34	18,77	-4187,94	889,66	47.404
26-27-S	12315	12315	0,00	0,00	-172,78	20,97	-4766,80	578,51	27.589
27-32-S	12315	12315	0,00	0,00	-324,58	24,25	-5715,03	426,91	17.608
28-36-S	12315	12315	0,00	0,00	-609,31	30,01	-7362,40	362,58	12.083
29-38-S	12315	13547	0,00	0,00	-963,14	31,47	-8738,67	285,53	9.073
30-43-S	12315	12315	0,00	0,00	-1431,87	33,82	-8913,32	210,53	6.225
31-45-S	12315	13547	0,00	0,00	-2160,54	37,65	-11580,66	201,83	5.360

Pertanto:

Peso proprio struttura in elevazione: 6826 kN

Peso proprio fondazione: 16991,32 kN

Peso terreno rinterro: 14270 kN

$M_{RIB}=1,5 (178398,10+1535,88\cdot 3,55)=275775,71 \text{ kNm}$ (momento ribaltante)

$M_{STAB}=0,9 (6826+16991,32+14270)\cdot 24,00/2=411343 \text{ kNm}$ (momento stabilizzante)

$FS= M_{STAB} / M_{RIB}= 1,49$

7.4 VERIFICHE ALLO STATO LIMITE DI ESERCIZIO (SLE)

Dalla lettura delle specifiche normative tecniche (§ 6.4.3.2. di [XI]) si evince che, completata la verifica agli SLU, occorre analizzare il comportamento dei pali nelle condizioni di esercizio in relazione alle opportune combinazioni di carico evidenziate nel § 4.3 della presente relazione.

Specificamente, “si devono calcolare i valori degli spostamenti e delle distorsioni per verificarne la compatibilità con i requisiti prestazionali della struttura in elevazione”.

Pertanto, la struttura della fondazione in oggetto è stata stabilita nel rispetto dei summenzionati requisiti prestazionali, tenendo opportunamente conto degli effetti di interazione tra struttura e terreno.

FONDAZIONI PROFONDE

Piastra su pali

Verifica tensioni (combinazioni SLE)

Simbologia adottata

I _s	Identificativo tratto-sezione-direzione (P: direzione principale, S: direzione secondaria)
A _{fi}	Area di armatura lembo inferiore espresso in [mmq]
A _{fs}	Area di armatura lembo superiore espresso in [mmq]
M _p	Momento positivo espresso in [kNm]
N _p	Sforzo positivo negativo espresso in [kN]
M _n	Momento negativo espresso in [kNm]
N _n	Sforzo normale negativo espresso in [kN]
$\bar{\varepsilon}_c$	Tensione nel calcestruzzo espresso in [N/mmq]
$\bar{\varepsilon}_{fi}$	Tensione nell'armatura disposta in corrispondenza del lembo inferiore espresso in [N/mmq]
$\bar{\varepsilon}_{fs}$	Tensione nell'armatura disposta in corrispondenza del lembo superiore espresso in [N/mmq]

Combinazione n° 2

I _s	A _{fi} [mmq]	A _{fs} [mmq]	M _p [kNm]	N _p [kN]	M _n [kNm]	N _n [kN]	$\bar{\varepsilon}_c$ [N/mmq]	$\bar{\varepsilon}_{fi}$ [N/mmq]	$\bar{\varepsilon}_{fs}$ [N/mmq]
1-35-P	12064	12064	24,24	-0,02	-2,99	-2,99	0,133	2,700	1,715
1-34-P	15281	15281	29,19	-0,07	-3,89	-3,89	0,127	2,576	1,635
2-42-P	32170	32170	83,46	0,00	-5,80	-5,80	0,174	3,423	2,251
2-16-P	32170	36995	22,55	-17,11	0,60	0,60	0,040	0,820	0,545
2-13-P	32170	32170	12,99	-22,37	4,70	4,70	0,050	0,660	0,830
3-40-P	32170	32170	236,95	-1,78	1,78	1,78	0,317	6,672	4,280
3-21-P	32170	39408	50,02	-41,08	0,00	0,00	0,059	1,401	0,955
3-9-P	32170	32170	2,74	-21,97	0,42	0,42	0,047	0,610	0,874
4-43-P	32170	39408	416,25	-0,39	-0,02	-0,11	0,375	9,443	5,108
4-44-P	32170	41017	417,50	0,00	0,77	0,00	0,368	9,444	5,005
4-7-P	32170	32170	0,76	-16,42	0,51	0,51	0,035	0,458	0,650
5-49-P	32170	34583	691,61	0,00	4,58	0,00	0,631	15,004	8,673
5-34-P	32170	39408	267,69	-123,49	0,66	0,66	0,192	5,095	2,649
5-6-P	32170	32170	0,11	-10,17	-0,67	-0,67	0,021	0,275	0,417
6-48-P	32170	32170	1050,17	0,00	3,31	0,00	0,793	19,396	11,032

Is	As [mmq]	Ac [mmq]	Mpf [kNm]	Npf [kJ]	Eps [%]	sm [mm]	wm [mm]
1-1	3217	13587	-251,21	236,64	0,0000	0,00	0,000

Combinazione n° 3

Is	As [mmq]	Ac [mmq]	Mpf [kNm]	Npf [kJ]	Eps [%]	sm [mm]	wm [mm]
40-45	12315	125000	5331,42	-22,92	0,0784	101,88	0,136

Aerogeneratori A01,A02,A03,A04,A05,A08,A09

Pali

Verifica tensioni

Pali in c.a.

Simbologia adottata

Y	ordinata della sezione a partire dalla testa positiva verso il basso, espressa in [m]
A _f	area di armatura, espressa in [mmq]
R _c	tensione nel calcestruzzo, espressa in [N/mmq]
R _f	tensione nell'acciaio, espressa in [N/mmq]
R _t	tensione tangenziale nel calcestruzzo, espressa in [N/mmq]
R _{st}	tensione nelle staffe, espressa in [N/mmq]

Combinazione n° 2

Palo n° 1

Y [m]	A _f [mmq]	R _c [N/mmq]	R _f [N/mmq]	R _t [N/mmq]	R _{st} [N/mmq]
0,00	2714	2,016	24,903	--	--
2,50	2714	1,098	15,032	--	--
5,00	2714	0,849	12,053	--	--
7,50	2714	0,918	12,590	--	--
10,00	2714	0,800	11,063	--	--
12,50	2714	0,641	9,067	--	--
15,00	2714	0,502	7,307	--	--
17,50	2714	0,400	5,946	--	--
20,00	2714	0,331	4,961	--	--
22,50	2714	0,274	4,106	--	--
25,00	2714	0,215	3,219	--	--

Palo n° 25

Y [m]	A _f [mmq]	R _c [N/mmq]	R _f [N/mmq]	R _t [N/mmq]	R _{st} [N/mmq]
0,00	2714	5,673	80,478	--	--
2,50	2714	4,784	70,316	--	--
5,00	2714	4,200	62,308	--	--
7,50	2714	3,928	57,746	--	--
10,00	2714	3,471	51,118	--	--
12,50	2714	2,971	44,021	--	--
15,00	2714	2,493	37,159	--	--
17,50	2714	2,050	30,698	--	--
20,00	2714	1,641	24,612	--	--
22,50	2714	1,245	18,658	--	--
25,00	2714	0,845	12,671	--	--

Combinazione n° 3

Palo n° 1

Y [m]	A _f [mmq]	R _c [N/mmq]	R _f [N/mmq]	R _t [N/mmq]	R _{st} [N/mmq]
0,00	2714	2,265	27,800	--	--
2,50	2714	1,199	16,373	--	--
5,00	2714	0,922	13,051	--	--

Y [m]	A_f [mmq]	R_c [N/mmq]	R_f [N/mmq]	R_c [N/mmq]	R_{ctf} [N/mmq]
7,50	2714	1,001	13,686	--	--
10,00	2714	0,871	11,999	--	--
12,50	2714	0,693	9,785	--	--
15,00	2714	0,540	7,836	--	--
17,50	2714	0,426	6,336	--	--
20,00	2714	0,351	5,258	--	--
22,50	2714	0,289	4,328	--	--
25,00	2714	0,224	3,360	--	--

Palo n° 25

Y [m]	A_f [mmq]	R_c [N/mmq]	R_f [N/mmq]	R_c [N/mmq]	R_{ctf} [N/mmq]
0,00	2714	6,125	86,667	--	--
2,50	2714	5,125	75,251	--	--
5,00	2714	4,490	66,572	--	--
7,50	2714	4,207	61,777	--	--
10,00	2714	3,715	54,658	--	--
12,50	2714	3,175	47,011	--	--
15,00	2714	2,659	39,628	--	--
17,50	2714	2,184	32,696	--	--
20,00	2714	1,746	26,187	--	--
22,50	2714	1,322	19,825	--	--
25,00	2714	0,895	13,426	--	--

Combinazione n° 4

Palo n° 1

Y [m]	A_f [mmq]	R_c [N/mmq]	R_f [N/mmq]	R_c [N/mmq]	R_{ctf} [N/mmq]
0,00	2714	2,519	30,727	--	--
2,50	2714	1,301	17,715	--	--
5,00	2714	0,994	14,049	--	--
7,50	2714	1,083	14,782	--	--
10,00	2714	0,941	12,935	--	--
12,50	2714	0,746	10,503	--	--
15,00	2714	0,577	8,364	--	--
17,50	2714	0,453	6,725	--	--
20,00	2714	0,371	5,555	--	--
22,50	2714	0,304	4,549	--	--
25,00	2714	0,233	3,502	--	--

Palo n° 25

Y [m]	A_f [mmq]	R_c [N/mmq]	R_f [N/mmq]	R_c [N/mmq]	R_{ctf} [N/mmq]
0,00	2714	6,576	92,857	--	--
2,50	2714	5,466	80,186	--	--
5,00	2714	4,780	70,836	--	--
7,50	2714	4,485	65,808	--	--
10,00	2714	3,958	58,198	--	--
12,50	2714	3,379	50,000	--	--
15,00	2714	2,826	42,097	--	--
17,50	2714	2,317	34,694	--	--
20,00	2714	1,851	27,761	--	--
22,50	2714	1,400	20,992	--	--
25,00	2714	0,945	14,182	--	--

Verifica fessurazione

Simbologia adottata

Ip	Indice palo
X	ascissa di verifica, espresso in [m]
As	Area di armatura all'interno dell'area efficace, espresso in [mmq]
Ac	Area dei ferri tesi, espresso in [mmq]
Mpf	Momento di prima fessurazione, espresso in [kNm]
Npf	Sforzo normale di prima fessurazione, espresso in [kN]
Eps	Deformazione unitaria media, espresso in [%]
sm	Distanza tra le fessure, espressa in [mm]
wm	Aampiezza della fessura, espressa in [mm]

Combinazione n° 2

Ip	X [m]	As [mmq]	Ac [mmq]	Mpf [kNm]	Npf [kN]	Eps [%]	sm [mm]	wm [mm]
1	268578841,34	0	0	0,00	- 7,1284239553 0569E140	0,0000	3,2887585365 057E183	0,000
2	268578841,34	0	0	0,00	- 7,1284239553 0569E140	0,0000	3,2887585365 057E183	0,000
3	268578841,34	0	0	0,00	- 7,1284239553 0569E140	0,0000	3,2887585365 057E183	0,000
4	268578841,34	0	0	0,00	- 7,1284239553 0569E140	0,0000	3,2887585365 057E183	0,000
5	268578841,34	0	0	0,00	- 7,1284239553 0569E140	0,0000	3,2887585365 057E183	0,000
6	268578841,34	0	0	0,00	- 7,1284239553 0569E140	0,0000	3,2887585365 057E183	0,000
7	268578841,34	0	0	0,00	- 7,1284239553 0569E140	0,0000	3,2887585365 057E183	0,000
8	268578841,34	0	0	0,00	- 7,1284239553 0569E140	0,0000	3,2887585365 057E183	0,000
9	268578841,34	0	0	0,00	- 7,1284239553 0569E140	0,0000	3,2887585365 057E183	0,000
10	268578841,34	0	0	0,00	- 7,1284239553 0569E140	0,0000	3,2887585365 057E183	0,000
11	268578841,34	0	0	0,00	- 7,1284239553 0569E140	0,0000	3,2887585365 057E183	0,000
12	268578841,34	0	0	0,00	- 7,1284239553 0569E140	0,0000	3,2887585365 057E183	0,000
13	268578841,34	0	0	0,00	- 7,1284239553 0569E140	0,0000	3,2887585365 057E183	0,000
14	268578841,34	0	0	0,00	- 7,1284239553 0569E140	0,0000	3,2887585365 057E183	0,000
15	268578841,34	0	0	0,00	- 7,1284239553 0569E140	0,0000	3,2887585365 057E183	0,000
16	268578841,34	0	0	0,00	- 7,1284239553 0569E140	0,0000	3,2887585365 057E183	0,000
17	268578841,34	0	0	0,00	- 7,1284239553 0569E140	0,0000	3,2887585365 057E183	0,000
18	268578841,34	0	0	0,00	- 7,1284239553 0569E140	0,0000	3,2887585365 057E183	0,000
19	268578841,34	0	0	0,00	- 7,1284239553 0569E140	0,0000	3,2887585365 057E183	0,000
20	268578841,34	0	0	0,00	- 7,1284239553 0569E140	0,0000	3,2887585365 057E183	0,000
21	268578841,34	0	0	0,00	- 7,1284239553 0569E140	0,0000	3,2887585365 057E183	0,000
22	268578841,34	0	0	0,00	- 7,1284239553 0569E140	0,0000	3,2887585365 057E183	0,000
23	268578841,34	0	0	0,00	- 7,1284239553 0569E140	0,0000	3,2887585365 057E183	0,000
24	268578841,34	0	0	0,00	- 7,1284239553 0569E140	0,0000	3,2887585365 057E183	0,000
25	268578841,34	0	0	0,00	- 7,1284239553 0569E140	0,0000	3,2887585365 057E183	0,000
26	268578841,34	0	0	0,00	- 7,1284239553 0569E140	0,0000	3,2887585365 057E183	0,000
27	268578841,34	0	0	0,00	- 7,1284239553 0569E140	0,0000	3,2887585365 057E183	0,000
28	268578841,34	0	0	0,00	- 7,1284239553 0569E140	0,0000	3,2887585365 057E183	0,000
29	268578841,34	0	0	0,00	- 7,1284239553 0569E140	0,0000	3,2887585365 057E183	0,000
30	268578841,34	0	0	0,00	- 7,1284239553 0569E140	0,0000	3,2887585365 057E183	0,000
31	268578841,34	0	0	0,00	-	0,0000	3,2887585365	0,000

Ip	X [m]	As [mmq]	Ac [mmq]	Mpf [kNm]	Npf [kN]	Eps [%]	sm [mm]	wm [mm]
					7,1284239553 0569E140		057E183	
32	268578841,34	0	0	0,00	7,1284239553 0569E140	0,0000	3,2887585365 057E183	0,000
33	268578841,34	0	0	0,00	- 7,1284239553 0569E140	0,0000	3,2887585365 057E183	0,000
34	268578841,34	0	0	0,00	- 7,1284239553 0569E140	0,0000	3,2887585365 057E183	0,000
35	268578841,34	0	0	0,00	- 7,1284239553 0569E140	0,0000	3,2887585365 057E183	0,000
36	268578841,34	0	0	0,00	- 7,1284239553 0569E140	0,0000	3,2887585365 057E183	0,000

Combinazione n° 3

Ip	X [m]	As [mmq]	Ac [mmq]	Mpf [kNm]	Npf [kN]	Eps [%]	sm [mm]	wm [mm]
1	268578841,34	0	0	0,00	- 7,1284239553 0569E140	0,0000	3,2887585365 057E183	0,000
2	268578841,34	0	0	0,00	- 7,1284239553 0569E140	0,0000	3,2887585365 057E183	0,000
3	268578841,34	0	0	0,00	- 7,1284239553 0569E140	0,0000	3,2887585365 057E183	0,000
4	268578841,34	0	0	0,00	- 7,1284239553 0569E140	0,0000	3,2887585365 057E183	0,000
5	268578841,34	0	0	0,00	- 7,1284239553 0569E140	0,0000	3,2887585365 057E183	0,000
6	268578841,34	0	0	0,00	- 7,1284239553 0569E140	0,0000	3,2887585365 057E183	0,000
7	268578841,34	0	0	0,00	- 7,1284239553 0569E140	0,0000	3,2887585365 057E183	0,000
8	268578841,34	0	0	0,00	- 7,1284239553 0569E140	0,0000	3,2887585365 057E183	0,000
9	268578841,34	0	0	0,00	- 7,1284239553 0569E140	0,0000	3,2887585365 057E183	0,000
10	268578841,34	0	0	0,00	- 7,1284239553 0569E140	0,0000	3,2887585365 057E183	0,000
11	268578841,34	0	0	0,00	- 7,1284239553 0569E140	0,0000	3,2887585365 057E183	0,000
12	268578841,34	0	0	0,00	- 7,1284239553 0569E140	0,0000	3,2887585365 057E183	0,000
13	268578841,34	0	0	0,00	- 7,1284239553 0569E140	0,0000	3,2887585365 057E183	0,000
14	268578841,34	0	0	0,00	- 7,1284239553 0569E140	0,0000	3,2887585365 057E183	0,000
15	268578841,34	0	0	0,00	- 7,1284239553 0569E140	0,0000	3,2887585365 057E183	0,000
16	268578841,34	0	0	0,00	- 7,1284239553 0569E140	0,0000	3,2887585365 057E183	0,000
17	268578841,34	0	0	0,00	- 7,1284239553 0569E140	0,0000	3,2887585365 057E183	0,000
18	268578841,34	0	0	0,00	- 7,1284239553 0569E140	0,0000	3,2887585365 057E183	0,000
19	268578841,34	0	0	0,00	- 7,1284239553 0569E140	0,0000	3,2887585365 057E183	0,000
20	268578841,34	0	0	0,00	- 7,1284239553 0569E140	0,0000	3,2887585365 057E183	0,000
21	268578841,34	0	0	0,00	- 7,1284239553 0569E140	0,0000	3,2887585365 057E183	0,000
22	268578841,34	0	0	0,00	- 7,1284239553 0569E140	0,0000	3,2887585365 057E183	0,000
23	268578841,34	0	0	0,00	- 7,1284239553 0569E140	0,0000	3,2887585365 057E183	0,000
24	268578841,34	0	0	0,00	- 7,1284239553	0,0000	3,2887585365 057E183	0,000

Ip	X [m]	As [mmq]	Ac [mmq]	Mpf [kNm]	Npf [kN]	Eps [%]	sm [mm]	wm [mm]
					0569E140			
25	268578841,34	0	0	0,00	- 7,1284239553 0569E140	0,0000	3,2887585365 057E183	0,000
26	268578841,34	0	0	0,00	- 7,1284239553 0569E140	0,0000	3,2887585365 057E183	0,000
27	268578841,34	0	0	0,00	- 7,1284239553 0569E140	0,0000	3,2887585365 057E183	0,000
28	268578841,34	0	0	0,00	- 7,1284239553 0569E140	0,0000	3,2887585365 057E183	0,000
29	268578841,34	0	0	0,00	- 7,1284239553 0569E140	0,0000	3,2887585365 057E183	0,000
30	268578841,34	0	0	0,00	- 7,1284239553 0569E140	0,0000	3,2887585365 057E183	0,000
31	268578841,34	0	0	0,00	- 7,1284239553 0569E140	0,0000	3,2887585365 057E183	0,000
32	268578841,34	0	0	0,00	- 7,1284239553 0569E140	0,0000	3,2887585365 057E183	0,000
33	268578841,34	0	0	0,00	- 7,1284239553 0569E140	0,0000	3,2887585365 057E183	0,000
34	268578841,34	0	0	0,00	- 7,1284239553 0569E140	0,0000	3,2887585365 057E183	0,000
35	268578841,34	0	0	0,00	- 7,1284239553 0569E140	0,0000	3,2887585365 057E183	0,000
36	268578841,34	0	0	0,00	- 7,1284239553 0569E140	0,0000	3,2887585365 057E183	0,000

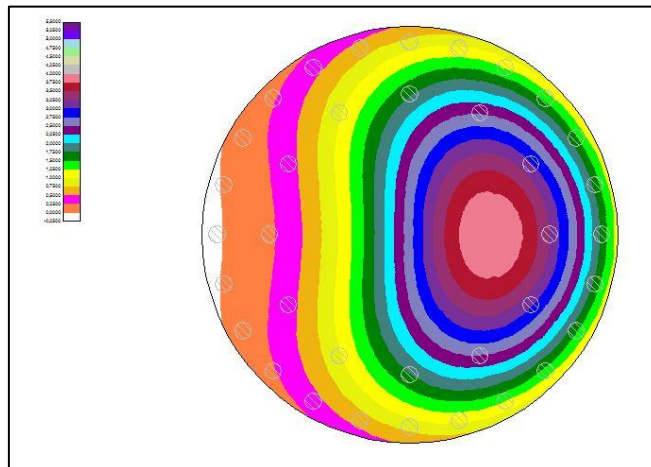
Cedimenti

Simbologia adottata

Oggetto	Oggetto al quale appartiene il punto di calcolo
X, Y	Coordinate punto in cui è stato calcolato il cedimento, espresso in [m]
w	Cedimento, espresso in [mm]
n°	numero palo

Combinazione n° 4

n°	w [mm]
1	0,145
25	1,235



Spostamenti verticali "w" Combinazione caratteristica o rara Aerogeneratori A01,A02,A03,A04,A05,A08,A09

Risultati Analisi		
Numero combinazioni 4 (t = 0,000 sec.)		
Analisi carichi verticali Analisi carichi orizzontali		
Carico Totale	25388,9382 [kN]	
Reazioni vincolari	0,0000 [kN]	
Risultante pali	25388,9382 [kN]	
Reazione terreno	0,0000 [kN]	
Spostamento massimo	2,37027 [mm]	X=18,64 Y=15,39 [m]
Spostamento minimo	-0,26951 [mm]	X=8,25 Y=15,12 [m]
Momento massimo X	14631,5429 [kNm]	X=17,00 Y=15,00 [m]
Momento minimo X	-9209,4506 [kNm]	X=13,00 Y=15,00 [m]
Momento massimo Y	10585,9639 [kNm]	X=17,00 Y=15,00 [m]
Momento minimo Y	-5067,9559 [kNm]	X=13,00 Y=15,00 [m]
Dettagli >>		
Spostamento differenziale massimo	2,64 [mm]	0,03%
Sforzo normale massimo sul palo	4176,1506 [kN]	(Palo nr. 25)
Sforzo normale minimo sul palo	-780,6381 [kN]	(Palo nr. 31)
<<	Comb. 4 / 4 - SLER	>>
Chiudi		Help

Il cedimento differenziale massimo è contenuto in valori compatibili con l'utilizzo della struttura in elevazione come risulta dal documento "D2431696-002 SGRE ON SG 6.0-170 Foundation Requirements Document T115-52A-WTC - D023-P037-T02_02 – Foundation" punto 3.8.3.

Is	As [mmq]	Ac [mmq]	Mpf [kNm]	Npf [kN]	Eps [%]	sm [mm]	wm [mm]
1-1	0	0	-297,58	1596,89	0,0000	0,00	0,000

Combinazione n° 3

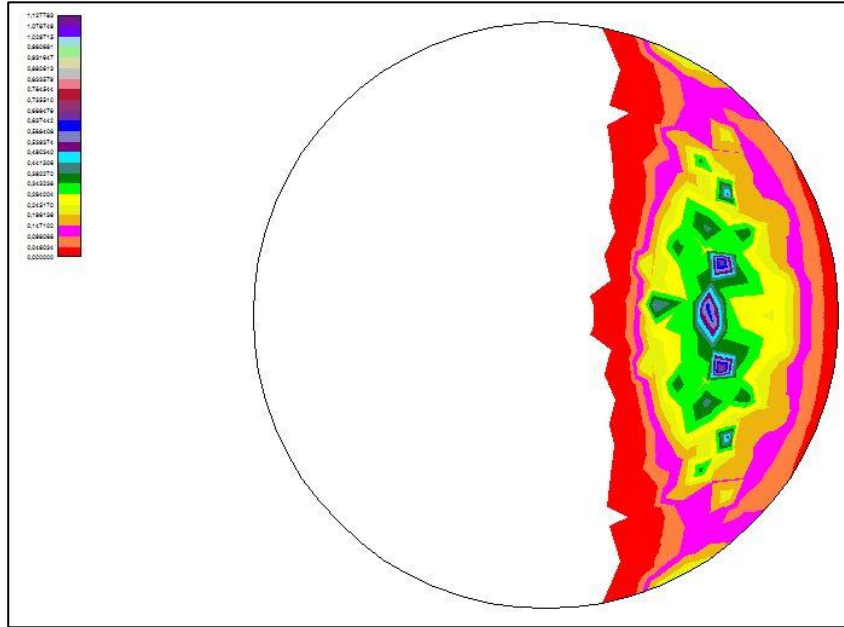
Is	As [mmq]	Ac [mmq]	Mpf [kNm]	Npf [kN]	Eps [%]	sm [mm]	wm [mm]
1-1	0	0	-297,58	1596,89	0,0000	0,00	0,000

Cedimenti

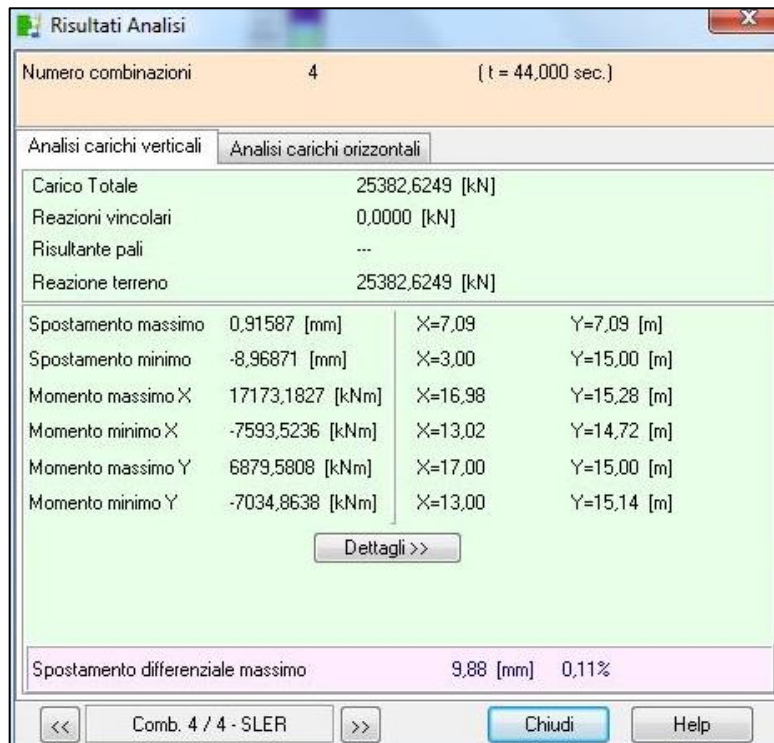
Combinazione n° 4

Oggetto	X [m]	Y [m]	w [mm]
Piastra n° 1	27,00	15,00	0,320
Piastra n° 1	26,94	16,18	0,319
Piastra n° 1	26,77	17,34	0,317
Piastra n° 1	26,48	18,48	0,314
Piastra n° 1	26,09	19,59	0,309
Piastra n° 1	25,58	20,66	0,303
Piastra n° 1	24,98	21,67	0,298
Piastra n° 1	24,28	22,61	0,293
Piastra n° 1	23,49	23,49	0,285
Piastra n° 1	22,61	24,28	0,286
Piastra n° 1	21,67	24,98	0,279
Piastra n° 1	20,66	25,58	0,262
Piastra n° 1	19,59	26,09	0,219
Piastra n° 1	18,48	26,48	0,129
Piastra n° 1	17,34	26,77	0,102
Piastra n° 1	16,18	26,94	0,087
Piastra n° 1	15,00	27,00	0,075
Piastra n° 1	13,82	26,94	0,065
Piastra n° 1	12,66	26,77	0,058
Piastra n° 1	11,52	26,48	0,052
Piastra n° 1	10,41	26,09	0,047
Piastra n° 1	9,34	25,58	0,042
Piastra n° 1	8,33	24,98	0,039
Piastra n° 1	7,39	24,28	0,036
Piastra n° 1	6,51	23,49	0,034
Piastra n° 1	5,72	22,61	0,032
Piastra n° 1	5,02	21,67	0,030
Piastra n° 1	4,42	20,66	0,029
Piastra n° 1	3,91	19,59	0,028
Piastra n° 1	3,52	18,48	0,027
Piastra n° 1	3,23	17,34	0,026
Piastra n° 1	3,06	16,18	0,026
Piastra n° 1	3,00	15,00	0,026
Piastra n° 1	3,06	13,82	0,026
Piastra n° 1	3,23	12,66	0,026
Piastra n° 1	3,52	11,52	0,027
Piastra n° 1	3,91	10,41	0,028
Piastra n° 1	4,42	9,34	0,029
Piastra n° 1	5,02	8,33	0,030
Piastra n° 1	5,72	7,39	0,032
Piastra n° 1	6,51	6,51	0,034
Piastra n° 1	7,39	5,72	0,036
Piastra n° 1	8,33	5,02	0,039
Piastra n° 1	9,34	4,42	0,042
Piastra n° 1	10,41	3,91	0,047
Piastra n° 1	11,52	3,52	0,052
Piastra n° 1	12,66	3,23	0,058
Piastra n° 1	13,82	3,06	0,065
Piastra n° 1	15,00	3,00	0,075
Piastra n° 1	16,18	3,06	0,086
Piastra n° 1	17,34	3,23	0,102
Piastra n° 1	18,48	3,52	0,129
Piastra n° 1	19,59	3,91	0,218
Piastra n° 1	20,66	4,42	0,262
Piastra n° 1	21,67	5,02	0,279
Piastra n° 1	22,61	5,72	0,286
Piastra n° 1	23,49	6,51	0,285
Piastra n° 1	24,28	7,39	0,293
Piastra n° 1	24,98	8,33	0,298
Piastra n° 1	25,58	9,34	0,303
Piastra n° 1	26,09	10,41	0,309
Piastra n° 1	26,48	11,52	0,313
Piastra n° 1	26,77	12,66	0,317
Piastra n° 1	26,94	13,82	0,319
Piastra n° 1	15,00	15,00	0,232

Aerogeneratori A06 A07



Spostamenti verticali "w" Combinazione caratteristica o rara Aerogeneratori A06 A07



Aerogeneratori A06 A07

Il cedimento differenziale massimo è contenuto in valori compatibili con l'utilizzo della struttura in elevazione come risulta dal documento “D2431696-002 SGRE ON SG 6.0-170 Foundation Requirements Document T115-52A-WTC - D023-P037-T02_02 – Foundation” punto 3.8.3.

7.5 VALUTAZIONE DELLA RIGIDEZZA ROTAZIONALE DINAMICA (DRS)

Si riporta a seguire la valutazione della rigidezza rotazionale dinamica e la relativa verifica rispetto al valore minimo richiesto dal fabbricante della torre. La rigidezza rotazionale dinamica è assunta pari a:

$$K_r = G_{dyn} R^3 / [3(1-v)] \text{ ove:}$$

- G_{dyn} = modulo a taglio dinamico di progetto

- R = raggio del plinto = 12,00 mt

- v = coeficiente di Poisson = 0,30

Per il calcolo del modulo a taglio dinamico si fa riferimento alla velocità delle onde di taglio (V_s) del sottosuolo, mediata sulla profondità significativa in funzione delle pressioni indotte dai carichi.

Si adotta la formula $G_{dyn} = 0.35 \rho \langle V_s \rangle^2$ in cui $\langle V_s \rangle$ è il valore medio ponderato della velocità delle onde di taglio e ρ la densità media del sottosuolo. Nel caso in esame la $\langle V_s \rangle$ è stata assunta conservativamente pari al valore minimo della velocità equivalente delle onde a taglio valutate nell'ambito delle indagini geofisiche esecutive MASW di cui alla relazione geologica. Pertanto:

$$G_{dyn} = 0.35 \cdot 2,08 \cdot 370.00^2 \cdot 10^{-3} = 99.66 \text{ MPa}$$

$$DRS = 8 \cdot 99.66 \cdot 12000^3 / [3 \cdot (1-0,30)] = 656.047 \text{ MNm/rad}$$

Minimo richiesto dal costruttore=165.000,00MNm/rad come da documento "D2431696-002 SGRE ON SG 6.0-170 Foundation Requirements Document T115-52A-WTC - D023-P037-T02_02 – Foundation" punto 3.9.2.

8 METODOLOGIE DI CALCOLO, TIPO DI ANALISI E STRUMENTI UTILIZZATI.

L'analisi di tipo numerico è stata realizzata mediante il Programma di Calcolo "API++ Platee e Graticci - Analisi fondazione", aggiornato alla Versione 14.0 prodotto da Aztec Informatica (Casole Bruzio) con Licenza d'uso n. AIU40280G.

Dichiarazioni secondo N.T.C. 2018 (punto 10.2)

Analisi e verifiche svolte con l'ausilio di codici di calcolo

Il sottoscritto, in qualità di calcolatore delle opere in progetto, dichiara quanto segue.

Tipo di analisi svolta

L'analisi strutturale e le verifiche sono condotte con l'ausilio di un codice di calcolo automatico. La verifica della sicurezza degli elementi strutturali è stata valutata con i metodi della scienza delle costruzioni.

Per il calcolo di piastre, plinti e graticci si utilizza il metodo degli elementi finiti. Il generatore di mesh permette di utilizzare elementi triangolari o quadrangolari, anche a deformabilità tagliente.

Per le strutture di fondazione il terreno viene modellato con una serie di molle alla Winkler non reagenti a trazione. Il calcolo delle tensioni indotte nel terreno può essere condotto con i metodi di Boussinesq, Westergaard o Frohlich. Il calcolo dei cedimenti può essere eseguito con il metodo edometrico (con il modulo edometrico o con la curva edometrica) o elastico. Il calcolo della portanza può essere fatto con i metodi di Terzaghi, Meyerhof, Hansen o Vesic.

In presenza di pali viene eseguito il calcolo di portanza verticale (di punta e laterale) e trasversale (portanza per carichi orizzontali).

L'analisi strutturale sotto le azioni sismiche è condotta con il metodo dell'analisi statica equivalente secondo le disposizioni del capitolo 7 del DM 17/01/2018.

La verifica delle sezioni degli elementi strutturali è eseguita con il metodo degli Stati Limite. Le combinazioni di carico adottate sono esaustive relativamente agli scenari di carico più gravosi cui l'opera sarà soggetta.

Origine e caratteristiche dei codici di calcolo

Titolo	API++ Full (Platee, Plinti e Graticci) - Analisi Fondazioni
Versione	14.0
Produttore	Aztec Informatica srl, Casole Bruzio (CS)
Utente	STIM Engineering S.r.l.
Licenza	AIU40280G

Affidabilità dei codici di calcolo

Un attento esame preliminare della documentazione a corredo del software ha consentito di valutarne l'affidabilità. La documentazione fornita dal produttore del software contiene un'esauriente descrizione delle basi teoriche, degli algoritmi impiegati e l'individuazione dei campi d'impiego. La società produttrice Aztec Informatica srl ha verificato l'affidabilità e la robustezza del codice di calcolo attraverso un numero significativo di casi prova in cui i risultati dell'analisi numerica sono stati confrontati con soluzioni teoriche.

Modalità di presentazione dei risultati

La relazione di calcolo strutturale presenta i dati di calcolo tale da garantirne la leggibilità, la corretta interpretazione e la riproducibilità. La relazione di calcolo illustra in modo esaustivo i dati in ingresso ed i risultati delle analisi in forma tabellare.

Informazioni generali sull'elaborazione

Il software prevede una serie di controlli automatici che consentono l'individuazione di errori di modellazione, di non rispetto di limitazioni geometriche e di armatura e di presenza di elementi non verificati. Il codice di calcolo consente di visualizzare e controllare, sia in forma grafica che tabellare, i dati del modello strutturale, in modo da avere una visione consapevole del comportamento corretto del modello strutturale.

Giudizio motivato di accettabilità dei risultati

I risultati delle elaborazioni sono stati sottoposti a controlli dal sottoscritto utente del software. Tale valutazione ha compreso il confronto con i risultati di semplici calcoli, eseguiti con metodi tradizionali. Inoltre sulla base di considerazioni riguardanti gli stati tensionali e deformativi determinati, si è valutata la validità delle scelte operate in sede di schematizzazione e di modellazione della struttura e delle azioni.

In base a quanto sopra, io sottoscritto asserisco che l'elaborazione è corretta ed idonea al caso specifico, pertanto i risultati di calcolo sono da ritenersi validi ed accettabili.

Bari, 26.08.2022

PROGETTAZIONE:

ing. Massimo CANDEO

Ord. Ing.ri Bari n°3755

